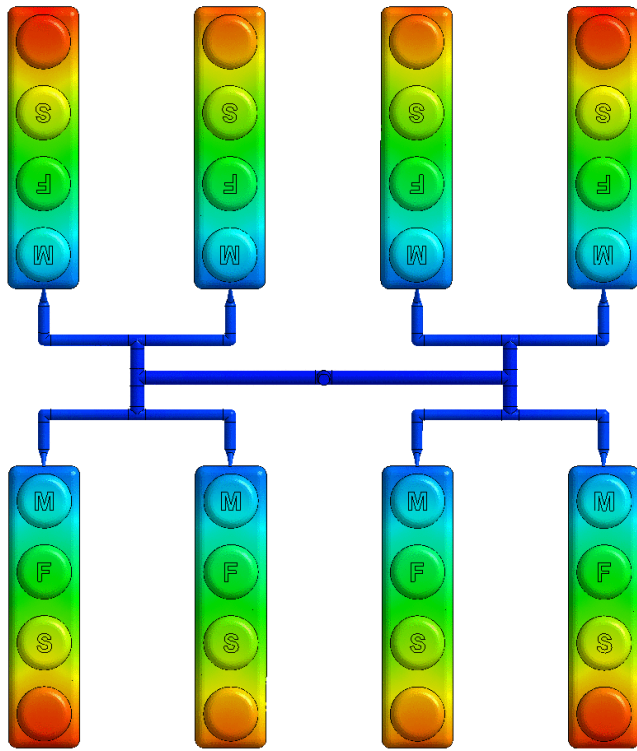


ESCOAMENTO EM DUTOS: **cálculo de perdas de carga e transientes fluidodinâmicos**

Paulo Seleghim Jr.
Universidade de São Paulo





<https://ingenieria-plastica.com>

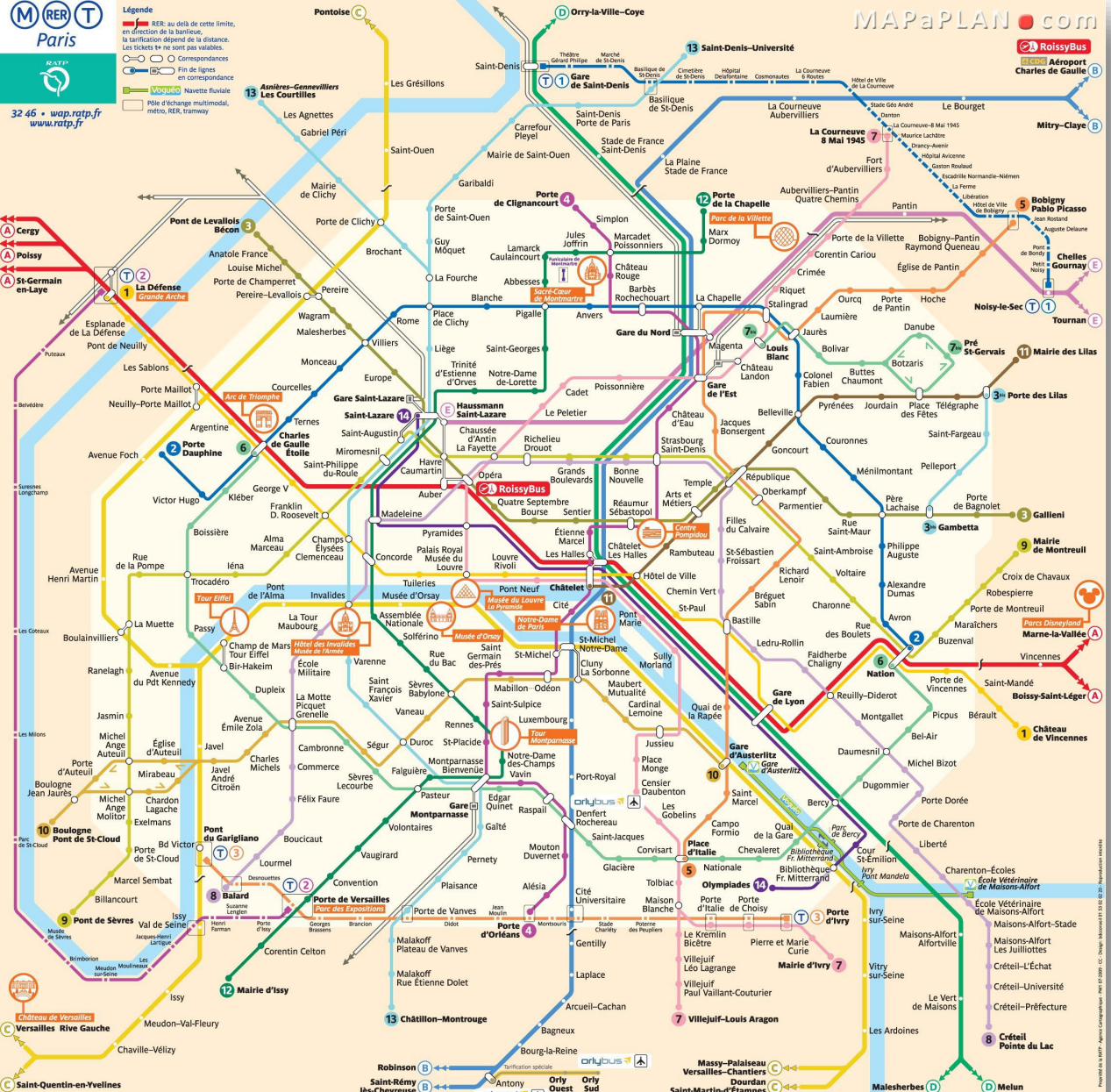


As questões postadas no Chat do YouTube
serão respondidas ao final da aula.



M RER T
Paris

32 46 • wap.ratp.fr
www.ratp.fr



$$\frac{\partial \rho}{\partial t} + \vec{\nabla} \cdot (\rho \vec{u}) = 0$$

$$\left(\frac{\partial \vec{u}}{\partial t} + \vec{u} \cdot \vec{\nabla} \vec{u} \right) = -\vec{\nabla} P + \frac{1}{Re} \nabla^2 \vec{u} + \sum \frac{1}{R_k} F_k$$

$$\left(\frac{\partial T}{\partial t} + \vec{u} \cdot \vec{\nabla} T \right) = \frac{1}{Re Pr} \vec{\nabla} \cdot (k \vec{\nabla} T) + \frac{Ec}{Re} \Phi(\vec{u})$$



As questões postadas no Chat do YouTube
serão respondidas ao final da aula.

Adimensionalização das equações governantes...

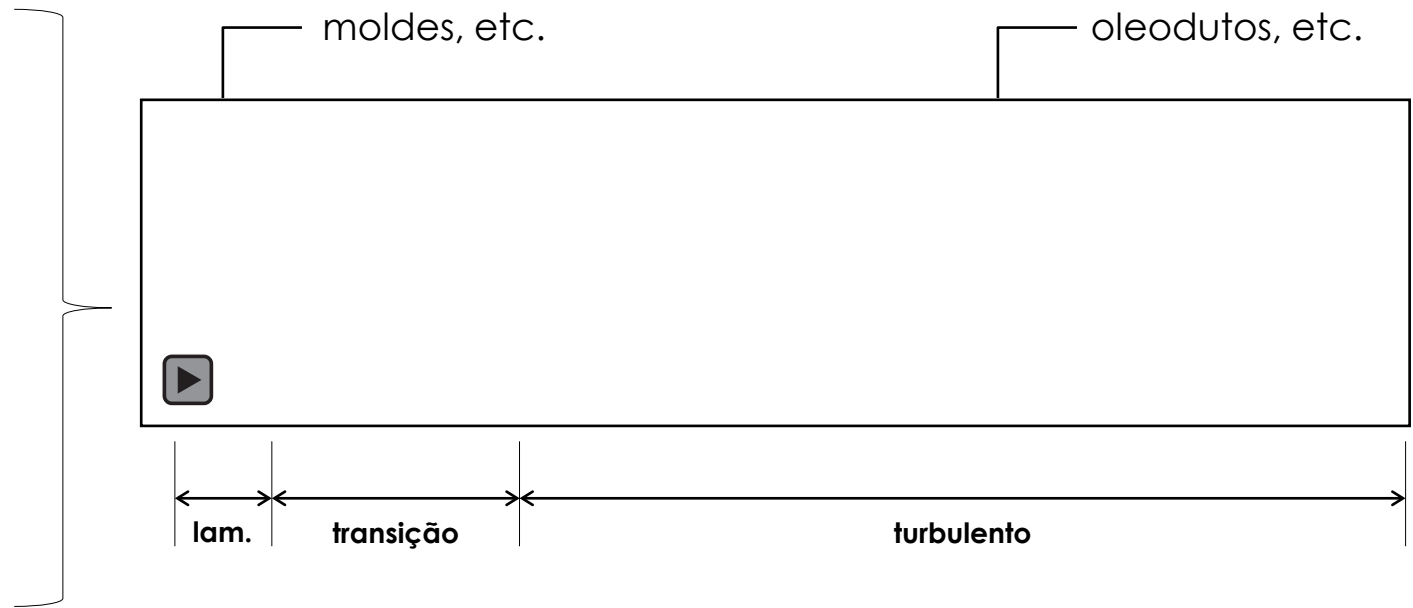
$$\frac{\partial \rho}{\partial t} + \vec{\nabla} \cdot (\rho \vec{u}) = 0$$

$$\left(\frac{\partial \vec{u}}{\partial t} + \vec{u} \cdot \vec{\nabla} \vec{u} \right) = -\vec{\nabla} P + \frac{1}{Re} \nabla^2 \vec{u} + \sum \frac{1}{R_k} F_k$$

$$\left(\frac{\partial T}{\partial t} + \vec{u} \cdot \vec{\nabla} T \right) = \frac{1}{Re Pr} \vec{\nabla} \cdot (k \vec{\nabla} T) + \frac{Ec}{Re} \Phi(\vec{u})$$

$$\frac{Ec}{Re} = \frac{\mu U/D}{Cp(T_s - T_\infty)}$$

significativo quando $U \gg 0$
e/ou visc $\gg 0$



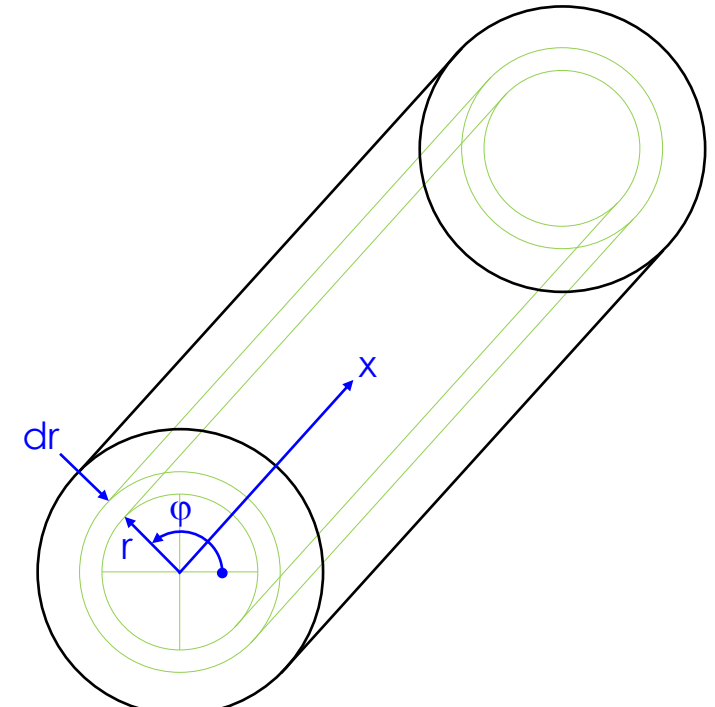
$$Re_D = \frac{\rho U D}{\mu} = \frac{\text{efeitos dinâmicos}}{\text{efeitos viscosos}}$$



$$Ec = \frac{U^2}{Cp(T_s - T_\infty)} = \frac{\text{energia cinética}}{\text{entalpia c. limite}}$$



As questões postadas no Chat do YouTube
serão respondidas ao final da aula.



$$\vec{u} = (u_r, u_x, u_\phi)$$

$$\rho \cdot \left(\cancel{\frac{\partial \vec{u}}{\partial t}} + \vec{u} \cdot \vec{\nabla} \vec{u} \right) = -\vec{\nabla} P + \mu \nabla^2 \vec{u} + \Sigma \vec{F}_k$$

$\vec{u} = (0, u_x(r), 0) \rightarrow \vec{u} \cdot \vec{\nabla} \vec{u} \equiv 0$

$$\vec{\nabla} P = \mu \nabla^2 \vec{u}$$

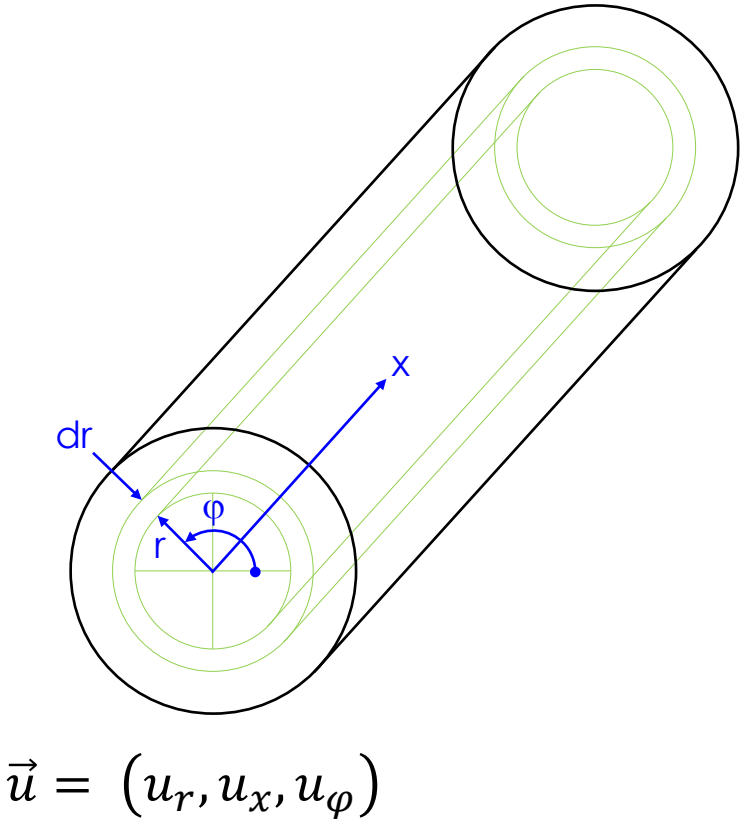
$$\left(\frac{\partial}{\partial x}, \frac{\partial}{\partial r}, \frac{1}{r} \frac{\partial}{\partial \phi} \right) P = \mu \left(\frac{\partial^2}{\partial x^2} + \frac{\partial^2}{\partial r^2} + \frac{1}{r} \frac{\partial}{\partial r} + \frac{1}{r^2} \frac{\partial^2}{\partial \phi^2} \right) (0, u_x(r), 0)$$

$$\frac{\partial P}{\partial x} = \mu \left(\frac{\partial^2 u_x}{\partial r^2} + \frac{1}{r} \frac{\partial u_x}{\partial r} \right) = \mu \frac{1}{r} \frac{\partial}{\partial r} \left(r \frac{\partial u_x}{\partial r} \right) = cte$$

↑ ↑
só depende de x só depende de r



As questões postadas no Chat do YouTube
serão respondidas ao final da aula.



$$\mu \frac{\partial}{\partial r} \left(r \frac{\partial u_x}{\partial r} \right) = r \frac{\partial P}{\partial x}$$

$$\mu \left(r \frac{\partial u_x}{\partial r} \right) = \frac{r^2}{2} \frac{\partial P}{\partial x} + C1 \rightarrow \frac{\partial u_x}{\partial r} = \frac{r}{2\mu} \frac{\partial P}{\partial x} + \frac{C1}{r\mu}$$

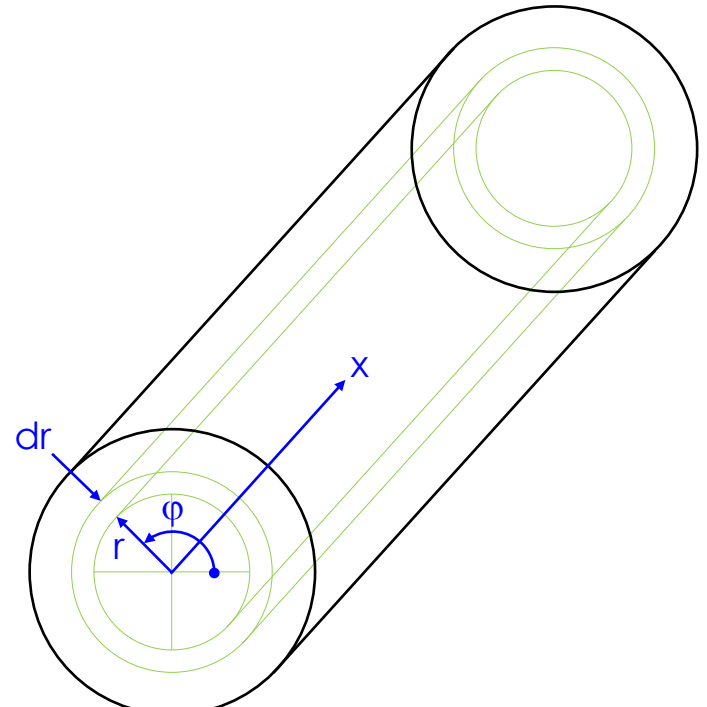
$$u_x(r) = \frac{r^2}{4\mu} \frac{\partial P}{\partial x} + \frac{C1}{\mu} \ln(r) + C2$$

$$u_x(0) < \infty \quad -\frac{R^2}{4\mu} \frac{\partial P}{\partial x} \dots pq \quad u_x(R) = 0$$

$$u_x(r) = \frac{1}{4\mu} \frac{\partial P}{\partial x} (r^2 - R^2)$$



As questões postadas no Chat do YouTube
serão respondidas ao final da aula.



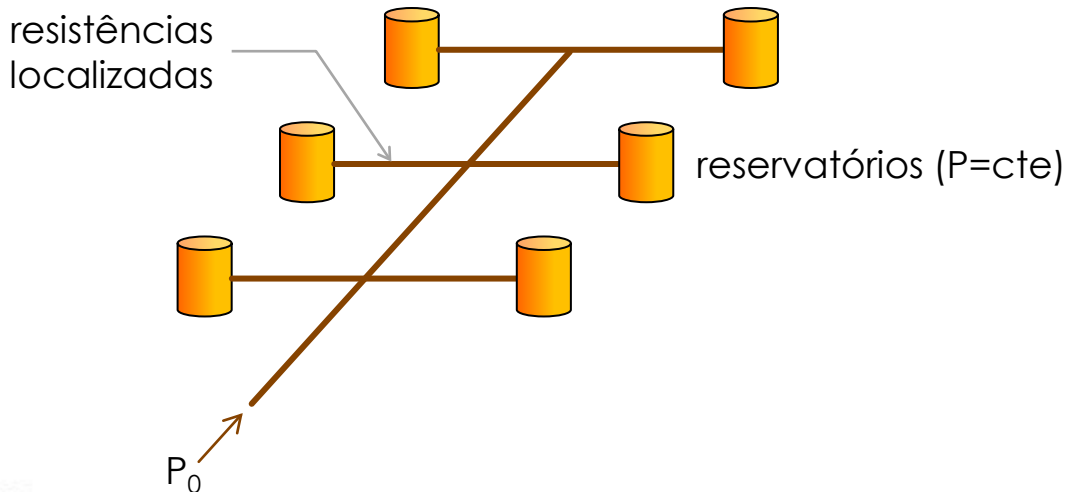
$$\vec{u} = (u_r, u_x, u_\phi)$$

$$u_x(r) = \frac{1}{4\mu} \frac{\partial P}{\partial x} (r^2 - R^2)$$

$$\tau_{rx}(r) = \mu \frac{\partial u_x}{\partial r} = \frac{r}{2} \frac{\partial P}{\partial x}$$

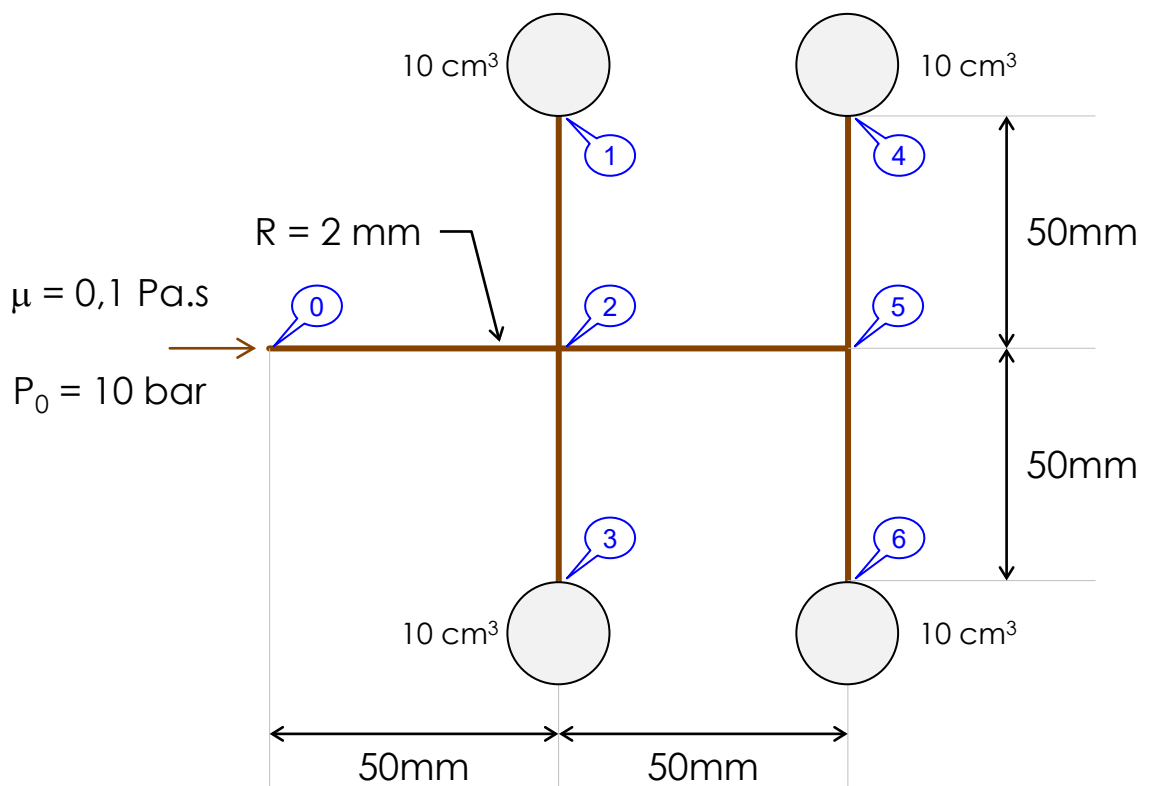
$$Q = \int_0^R u_x(r) 2\pi r dr = - \frac{\pi R^4}{8\mu} \frac{\partial P}{\partial x}$$

$$\frac{8\mu}{\pi L R^4} = \frac{\Delta P}{Q} \rightarrow R_\mu = \frac{8\mu L}{\pi R^4} = \frac{\Delta P}{Q} = \text{resistência viscosa}$$



As questões postadas no Chat do YouTube
serão respondidas ao final da aula.

Exemplo: injeção em um molde de plástico...



$$R_\mu = \frac{8\mu L}{\pi R^4} = \frac{8 \cdot 0,1 \cdot 50 \times 10^{-3}}{\pi (2 \times 10^{-3})^4} \cdot \frac{1m^3}{10^6 \text{ cm}^3} = 7,958 \times 10^{-3} \frac{\text{bar}}{\text{cm}^3/\text{s}}$$

$$P_0 - P_2 = R_\mu \cdot Q_{02}$$

$$P_2 - P_1 = R_\mu \cdot Q_{21}$$

$$P_2 - P_3 = R_\mu \cdot Q_{23}$$

$$P_2 - P_5 = R_\mu \cdot Q_{25}$$

$$P_5 - P_4 = R_\mu \cdot Q_{54}$$

$$P_5 - P_6 = R_\mu \cdot Q_{56}$$

$$Q_{02} = Q_{21} + Q_{23} + Q_{25}$$

$$Q_{25} = Q_{54} + Q_{56}$$

$$\left(\frac{\partial \vec{u}}{\partial t} + \vec{u} \cdot \vec{\nabla} \vec{u} \right) = -\vec{\nabla} P + \frac{1}{Re} \nabla^2 \vec{u} + \sum \frac{1}{R_k} F_k$$

$$\frac{\partial \rho}{\partial t} + \vec{\nabla} \cdot (\rho \vec{u}) = 0$$



As questões postadas no Chat do YouTube
serão respondidas ao final da aula.

Montagem e solução do sistema de equações...

$$P_0 - P_2 = R_\mu \cdot Q_{02}$$

$$P_2 - P_1 = R_\mu \cdot Q_{21}$$

$$P_2 - P_3 = R_\mu \cdot Q_{23}$$

$$P_2 - P_5 = R_\mu \cdot Q_{25}$$

$$P_5 - P_4 = R_\mu \cdot Q_{54}$$

$$P_5 - P_6 = R_\mu \cdot Q_{56}$$

$$Q_{02} = Q_{21} + Q_{23} + Q_{25}$$

$$Q_{25} = Q_{54} + Q_{56}$$

Parâmetros conhecidos:

geométricas $\rightarrow L's$ e $R's$

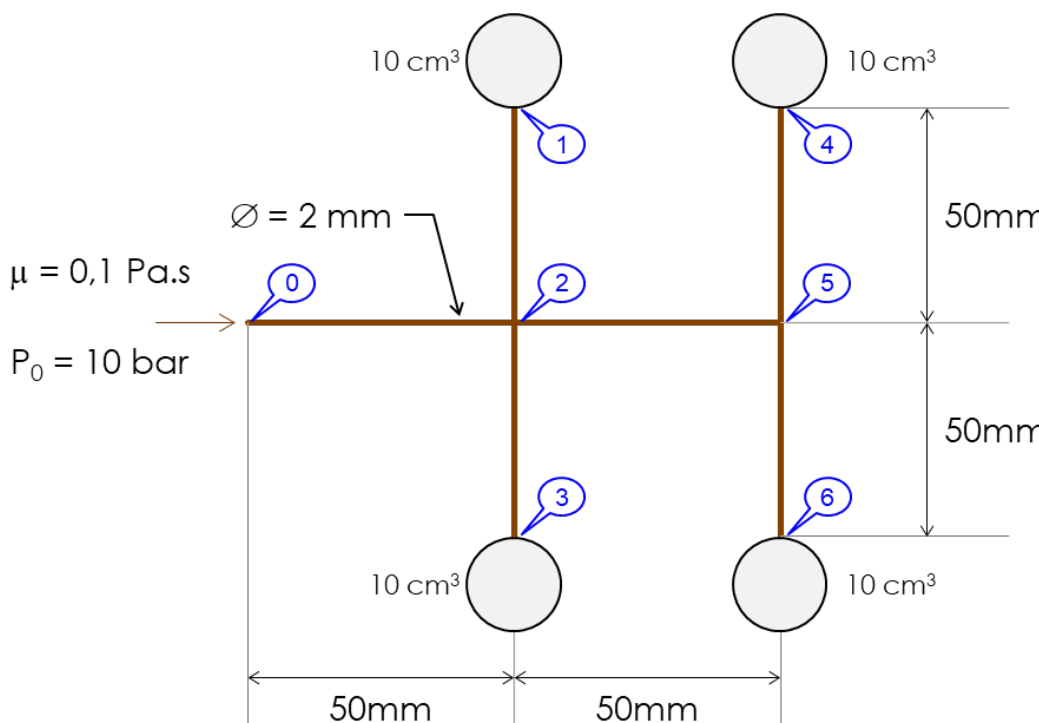
physival $\rightarrow \mu$

operacionais $\rightarrow P_0, P_1, P_3, P_4, P_6$

Incógnitas do problema:

pressões $\rightarrow P_2, P_5$

vazões $\rightarrow Q_{02}, Q_{21}, Q_{23}, Q_{25}, Q_{54}, Q_{56}$



As questões postadas no Chat do YouTube
serão respondidas ao final da aula.

Montagem e solução do sistema de equações...

$$P_0 - P_2 = R_\mu \cdot Q_{02}$$

$$P_2 - P_1 = R_\mu \cdot Q_{21}$$

$$P_2 - P_3 = R_\mu \cdot Q_{23}$$

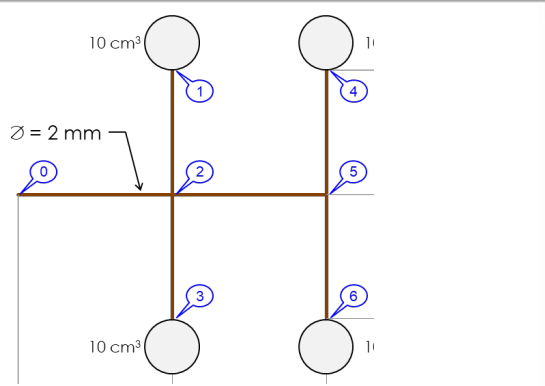
$$P_2 - P_5 = R_\mu \cdot Q_{25}$$

$$P_5 - P_4 = R_\mu \cdot Q_{54}$$

$$P_5 - P_6 = R_\mu \cdot Q_{56}$$

$$Q_{02} = Q_{21} + Q_{23} + Q_{25}$$

$$Q_{25} = Q_{54} + Q_{56}$$



Parâmetros conhecidos:

geométricas $\rightarrow L's$ e $R's$

physival $\rightarrow \mu$

operacionais $\rightarrow P_0, P_1, P_3, P_4, P_6$

Incógnitas do problema:

pressões $\rightarrow P_2, P_5$

vazões $\rightarrow Q_{02}, Q_{21}, Q_{23}, Q_{25}, Q_{54}, Q_{56}$

| | P_2 | P_5 | Q_{02} | Q_{21} | Q_{23} | Q_{25} | Q_{54} | Q_{56} | |
|-------|-------|-------|----------|----------|----------|----------|----------|----------|--------|
| eq. 1 | -1 | | | $-R_\mu$ | | | | | $-P_0$ |
| eq. 2 | +1 | | | | $-R_\mu$ | | | | $+P_1$ |
| eq. 3 | +1 | | | | | $-R_\mu$ | | | $+P_3$ |
| eq. 4 | +1 | | -1 | | | | $-R_\mu$ | | 0 |
| eq. 5 | | +1 | | | | | $-R_\mu$ | | $+P_4$ |
| eq. 6 | | +1 | | | | | | $-R_\mu$ | 0 |
| eq. 7 | | | +1 | -1 | -1 | -1 | | | $+P_6$ |
| eq. 8 | | | | | | | +1 | -1 | 0 |

incógnitas =



As questões postadas no Chat do YouTube
serão respondidas ao final da aula.

Montagem e solução do sistema de equações...

$$P_0 - P_2 = R_\mu \cdot Q_{02}$$

$$P_2 - P_1 = R_\mu \cdot Q_{21}$$

$$P_2 - P_3 = R_\mu \cdot Q_{23}$$

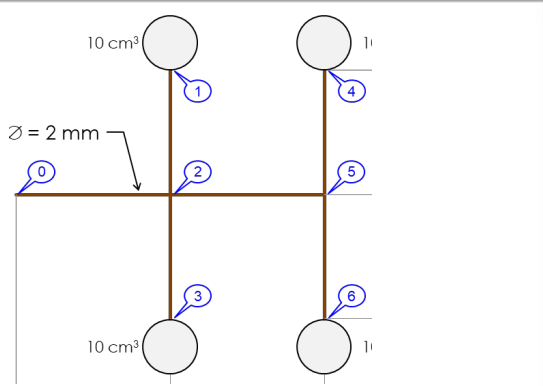
$$P_2 - P_5 = R_\mu \cdot Q_{25}$$

$$P_5 - P_4 = R_\mu \cdot Q_{54}$$

$$P_5 - P_6 = R_\mu \cdot Q_{56}$$

$$Q_{02} = Q_{21} + Q_{23} + Q_{25}$$

$$Q_{25} = Q_{54} + Q_{56}$$



escoamento couette molde de injeção - Excel

Arquivo Página Inicial Inserir Layout da Página Fórmulas Dados Revisão Exibir Suplementos Ajuda Diga-me o que você deseja fazer

Fonte Área de Transferência Alineamento Número Estilos

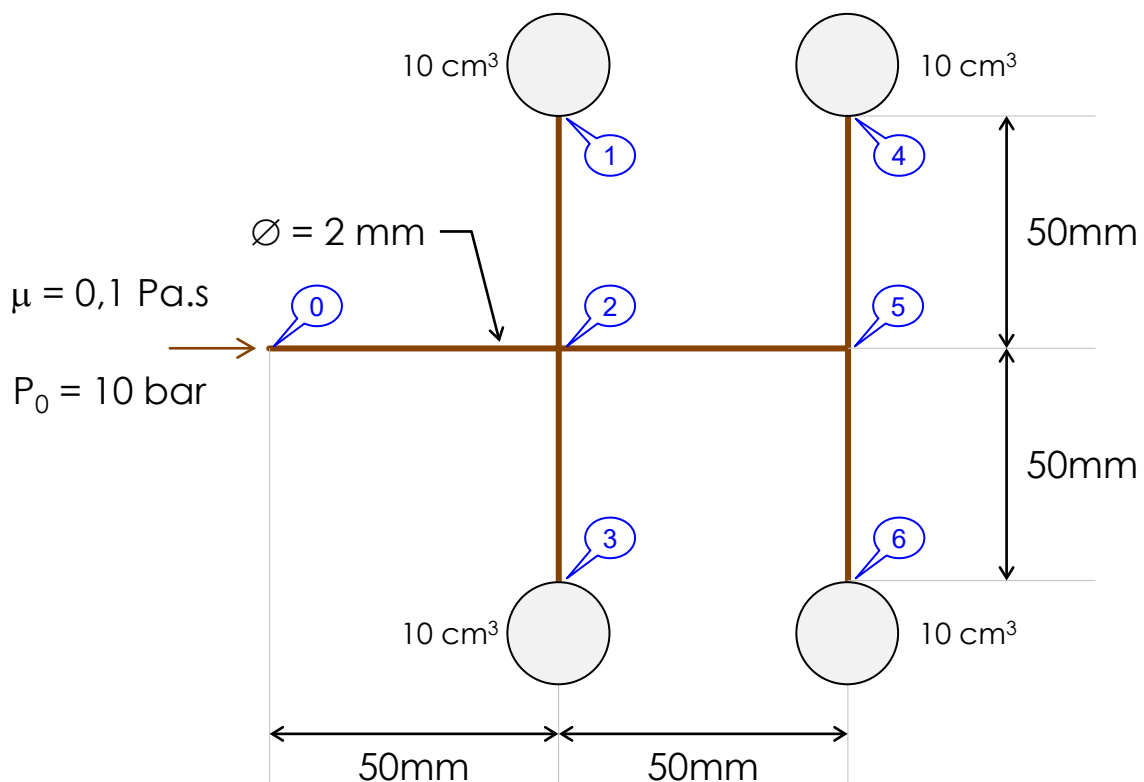
=8*B1*B2*0,001/(PI()*(B3*0,001)^4)*0,000000000001

| | A | B | C | D | E | F | G | H | I | J | K | L | M | N | O | P | Q |
|----|----|------------------------|---|------|----------|----------|----------|----------|----------|----------|----------|----------|---|---------|-----|------|---|
| 1 | mu | 0,1 Pa.s | | | P2 | P5 | Q02 | Q21 | Q23 | Q25 | Q54 | Q56 | | T.I. | | | |
| 2 | L | 50 mm | | eq 1 | -1 | 0 | -0,00796 | 0 | 0 | 0 | 0 | 0 | | -1 | | | |
| 3 | R | 2 mm | | eq 2 | 1 | 0 | 0 | -0,00796 | 0 | 0 | 0 | 0 | | 0 | | | |
| 4 | P0 | 1 bar | | eq 3 | 1 | 0 | 0 | 0 | -0,00796 | 0 | 0 | 0 | | 0 | | | |
| 5 | P1 | 0 bar | | eq 4 | 1 | -1 | 0 | 0 | 0 | -0,00796 | 0 | 0 | | 0 | | | |
| 6 | P3 | 0 bar | | eq 5 | 0 | 1 | 0 | 0 | 0 | 0 | -0,00796 | 0 | | 0 | | | |
| 7 | P4 | 0 bar | | eq 6 | 0 | 1 | 0 | 0 | 0 | 0 | 0 | -0,00796 | | 0 | | | |
| 8 | P5 | 0 bar | | eq 7 | 0 | 0 | 1 | -1 | -1 | -1 | 0 | 0 | | 0 | | | |
| 9 | P6 | 0 bar | | eq 8 | 0 | 0 | 0 | 0 | 0 | 1 | -1 | -1 | | 0 | | | |
| 10 | | | | | | | | | | | | | | | | | |
| 11 | R | 0,00795775 bar/(cm³/s) | | | P2 | P5 | Q02 | Q21 | Q23 | Q25 | Q54 | Q56 | | solu | | | |
| 12 | | | | eq 1 | -0,27273 | 0,27273 | 0,27273 | 0,18182 | 0,09091 | 0,09091 | -0,00217 | -0,00072 | | 0,27273 | P2 | bar | |
| 13 | | | | eq 2 | -0,09091 | 0,09091 | 0,09091 | -0,27273 | 0,36364 | 0,36364 | -0,00072 | -0,00289 | | 0,09091 | P5 | bar | |
| 14 | | | | eq 3 | -91,3918 | -34,2719 | -34,2719 | -22,8479 | -11,424 | -11,424 | 0,27273 | 0,09091 | | 91,3918 | Q02 | c3/s | |
| 15 | | | | eq 4 | -34,2719 | -91,3918 | 34,2719 | 22,8479 | 11,424 | 11,424 | -0,27273 | -0,09091 | | 34,2719 | Q21 | c3/s | |
| 16 | | | | eq 5 | -34,2719 | 34,2719 | -91,3918 | 22,8479 | 11,424 | 11,424 | -0,27273 | -0,09091 | | 34,2719 | Q23 | c3/s | |
| 17 | | | | eq 6 | -22,8479 | 22,8479 | 22,8479 | -68,5438 | -34,2719 | -34,2719 | -0,18182 | 0,27273 | | 22,8479 | Q25 | c3/s | |
| 18 | | | | eq 7 | -11,424 | 11,424 | 11,424 | -34,2719 | -79,9678 | 45,6959 | -0,09091 | -0,36364 | | 11,424 | Q54 | c3/s | |
| 19 | | | | eq 8 | -11,424 | 11,424 | 11,424 | -34,2719 | 45,6959 | -79,9678 | -0,09091 | -0,36364 | | 11,424 | Q56 | c3/s | |



As questões postadas no Chat do YouTube
serão respondidas ao final da aula.

Montagem e solução do sistema de equações...



$$R_\mu = \frac{8\mu L}{\pi R^4} = \frac{8 \cdot 0,1 \cdot 50 \times 10^{-3}}{\pi (2 \times 10^{-3})^4} \cdot \frac{1 \text{ m}^3}{10^6 \text{ cm}^3} = 7,958 \times 10^{-3} \frac{\text{bar}}{\text{cm}^3/\text{s}}$$

$$P_0 - P_2 = R_\mu \cdot Q_{02}$$

$$P_2 - P_1 = R_\mu \cdot Q_{21}$$

$$P_2 - P_3 = R_\mu \cdot Q_{23}$$

$$P_2 - P_5 = R_\mu \cdot Q_{25}$$

$$P_5 - P_4 = R_\mu \cdot Q_{54}$$

$$P_5 - P_6 = R_\mu \cdot Q_{56}$$

$$Q_{02} = Q_{21} + Q_{23} + Q_{25}$$

$$Q_{25} = Q_{54} + Q_{56}$$

$$P_2 = 0,2727 \text{ bar}$$

$$P_5 = 0,0909 \text{ bar}$$

$$Q_{02} = 9,191,3918 \text{ cm}^3/\text{s}$$

$$Q_{21} = 34,2719 \text{ cm}^3/\text{s}$$

$$Q_{23} = 34,2719 \text{ cm}^3/\text{s}$$

$$Q_{25} = 22,8479 \text{ cm}^3/\text{s}$$

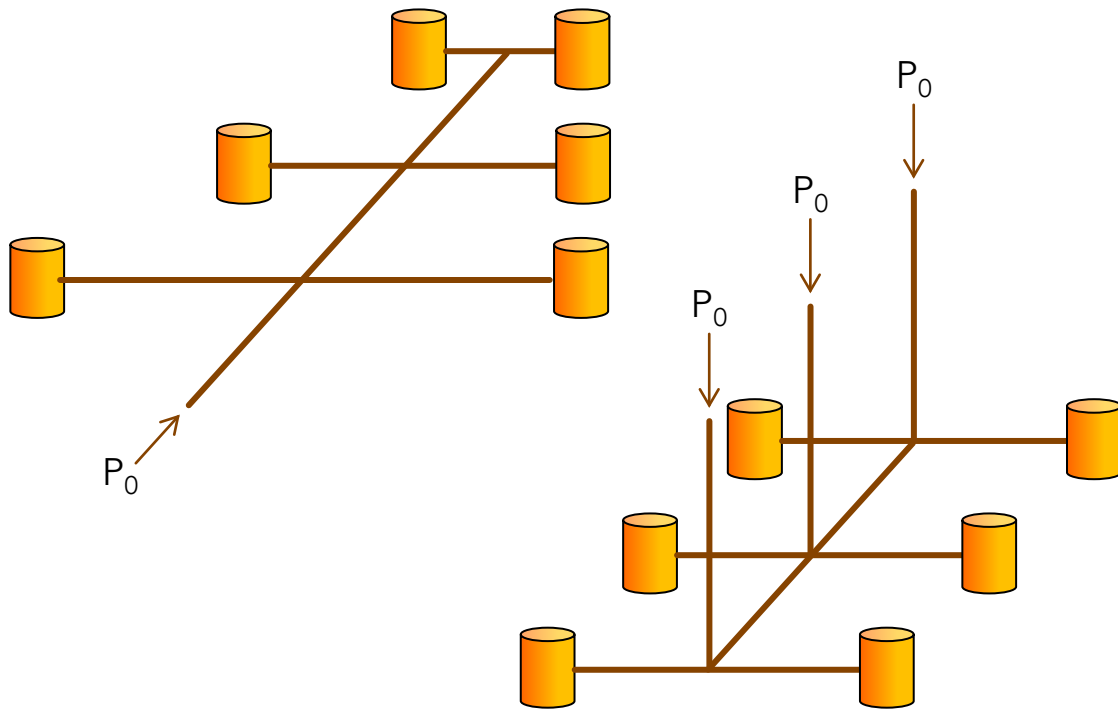
$$Q_{54} = 11,4240 \text{ cm}^3/\text{s}$$

$$Q_{56} = 11,4240 \text{ cm}^3/\text{s}$$



As questões postadas no Chat do YouTube
serão respondidas ao final da aula.

Montagem e solução do sistema de equações...



$$R_\mu = \frac{8\mu L}{\pi R^4} = \frac{8 \cdot 0,1 \cdot 50 \times 10^{-3}}{\pi (2 \times 10^{-3})^4} \cdot \frac{1m^3}{10^6 cm^3} = 7,958 \times 10^{-3} \frac{bar}{cm^3/s}$$

$$P_0 - P_2 = R_\mu \cdot Q_{02}$$

$$P_2 - P_1 = R_\mu \cdot Q_{21}$$

$$P_2 - P_3 = R_\mu \cdot Q_{23}$$

$$P_2 - P_5 = R_\mu \cdot Q_{25}$$

$$P_5 - P_4 = R_\mu \cdot Q_{54}$$

$$P_5 - P_6 = R_\mu \cdot Q_{56}$$

$$Q_{02} = Q_{21} + Q_{23} + Q_{25}$$

$$Q_{25} = Q_{54} + Q_{56}$$

$$P_2 = 0,2727 \text{ bar}$$

$$P_5 = 0,0909 \text{ bar}$$

$$Q_{02} = 9,191,3918 \text{ } cm^3/s$$

$$Q_{21} = 34,2719 \text{ } cm^3/s$$

$$Q_{23} = 34,2719 \text{ } cm^3/s$$

$$Q_{25} = 22,8479 \text{ } cm^3/s$$

$$Q_{54} = 11,4240 \text{ } cm^3/s$$

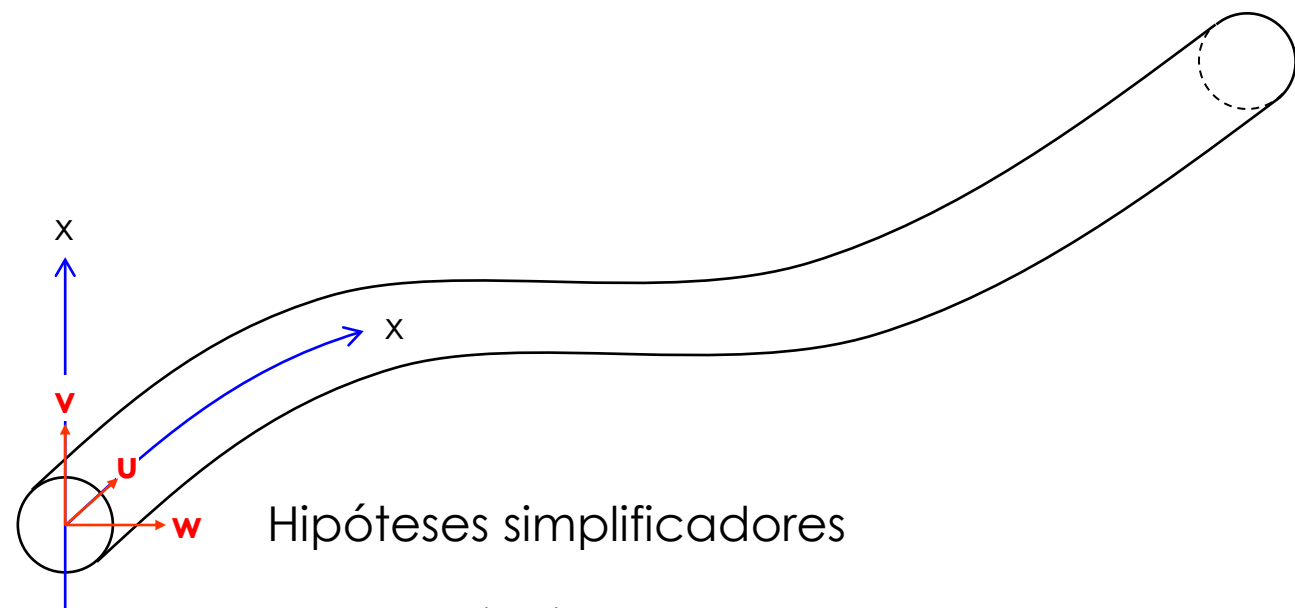
$$Q_{56} = 11,4240 \text{ } cm^3/s$$



As questões postadas no Chat do YouTube
serão respondidas ao final da aula.

Dutos: $L \ggg D$ \rightarrow efeitos de inércia são importantes...

Escoamento em dutos: obtenção das equações governantes...



$$v \equiv w \equiv 0$$

$$\rho = \rho(t, x)$$

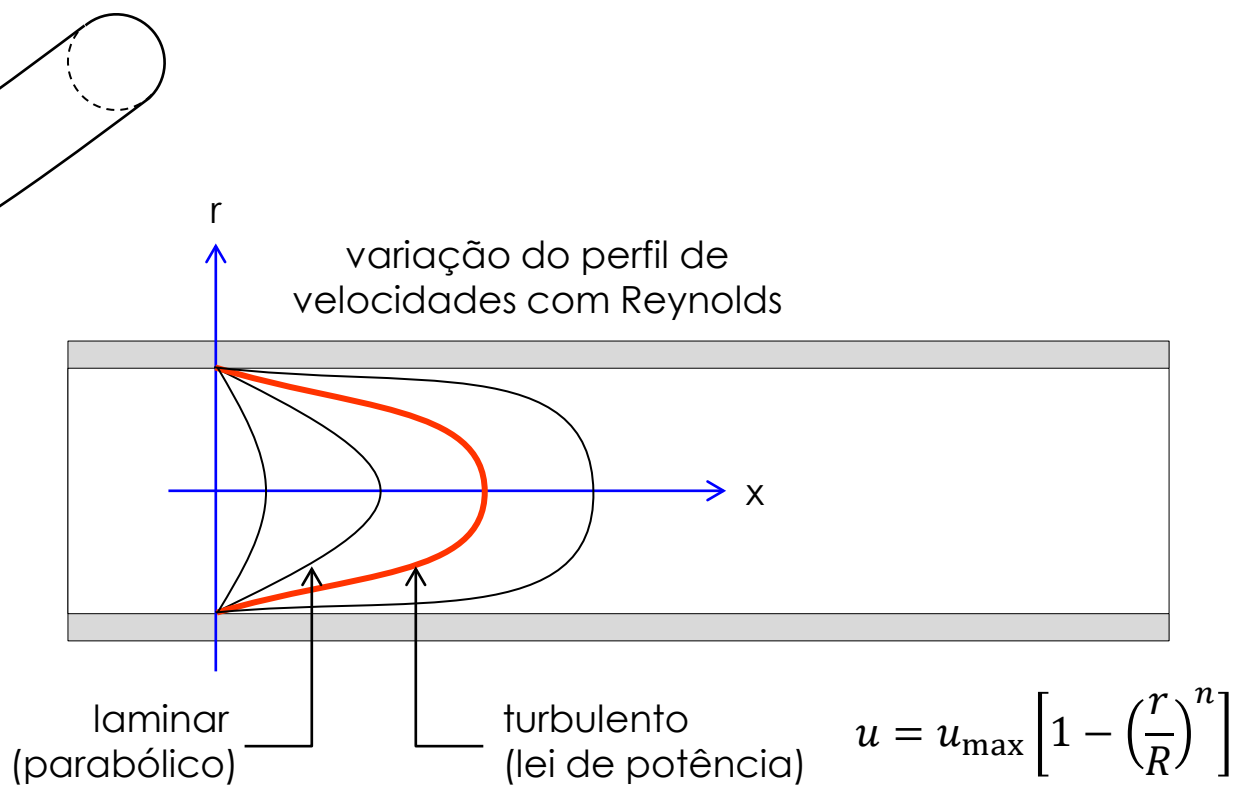
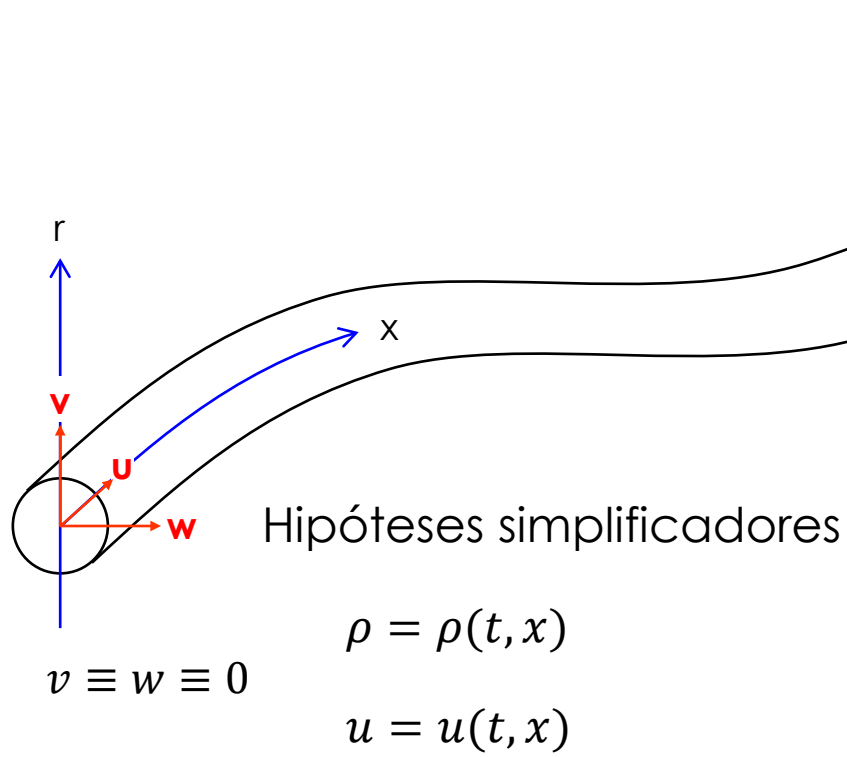
$$u = u(t, x)$$

Como definir uma velocidade média representativa do escoamento para cada posição ao longo do duto ?



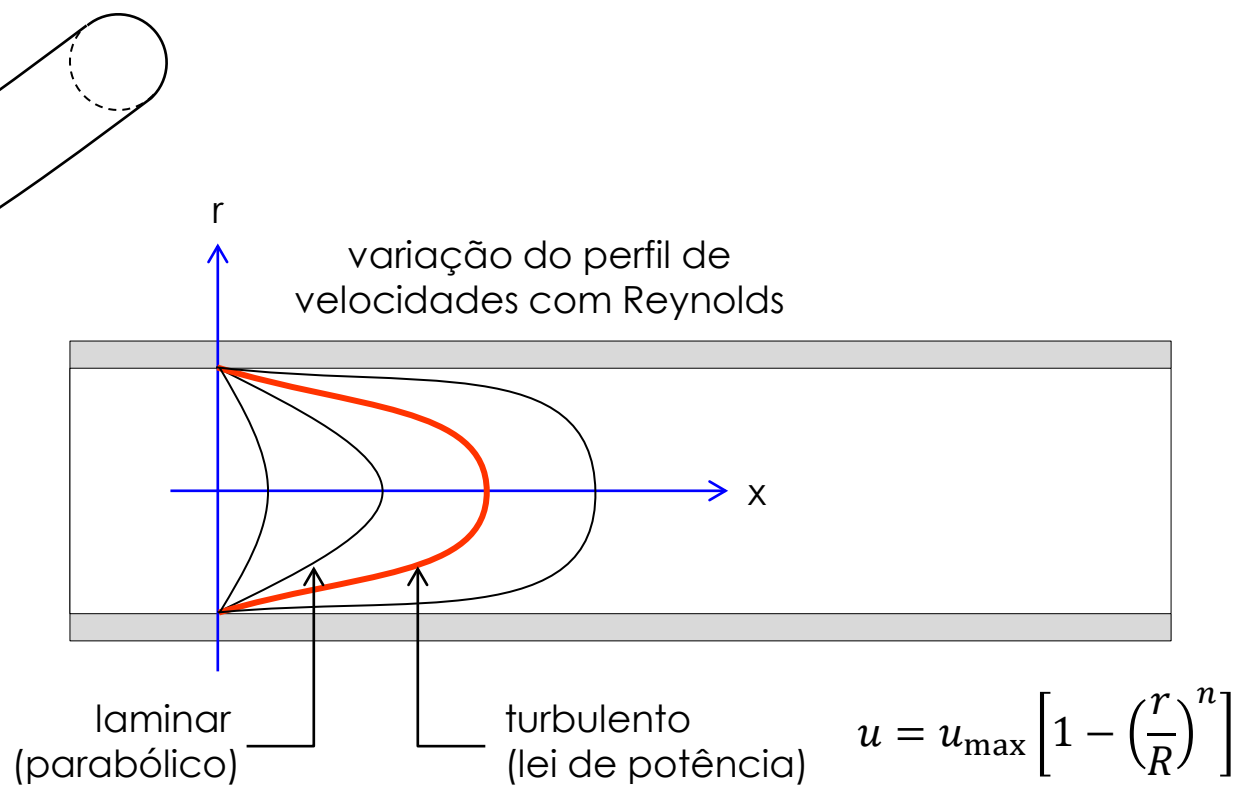
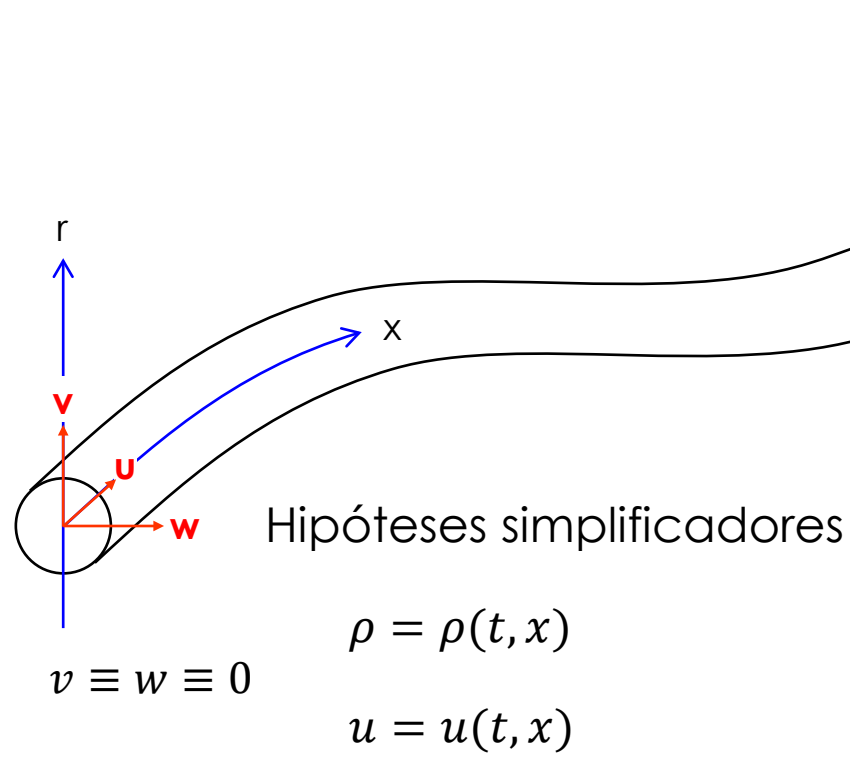
As questões postadas no Chat do YouTube
serão respondidas ao final da aula.

Escoamento em dutos: obtenção das equações governantes...



As questões postadas no Chat do YouTube
serão respondidas ao final da aula.

Escoamento em dutos: obtenção das equações governantes...

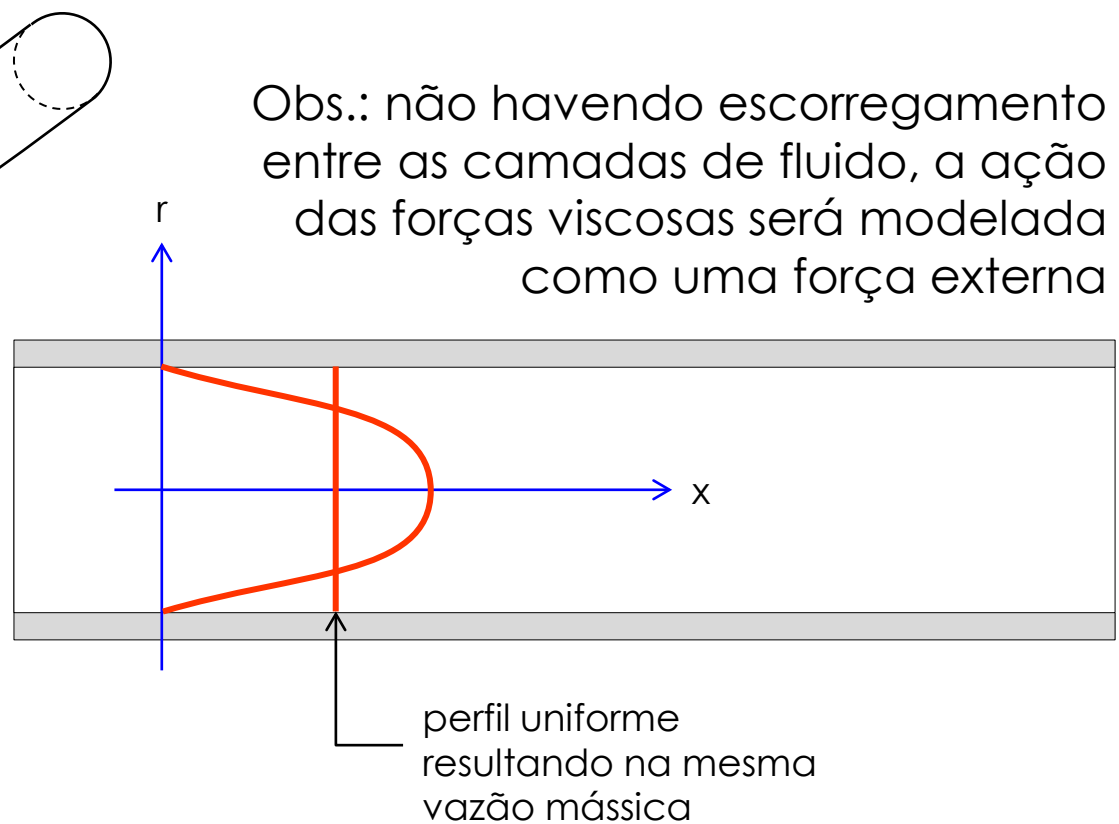
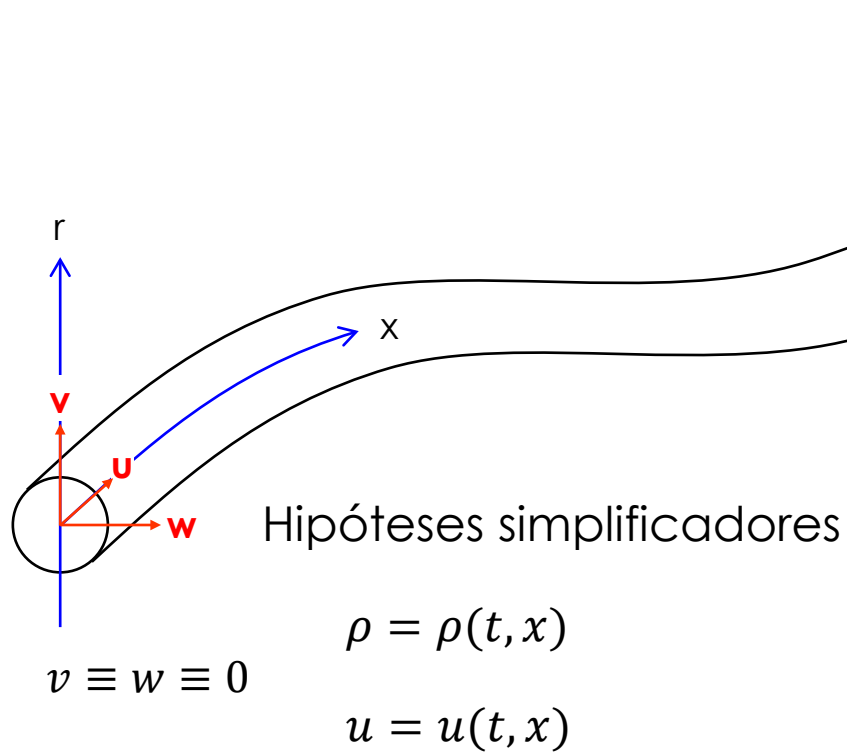


$$\dot{m} = \rho \int_A u(x, r) \cdot dA = \rho \frac{A}{A} \int_A u(x, r) \cdot dA = \rho \cdot u_{med}(x) \cdot A$$



As questões postadas no Chat do YouTube
serão respondidas ao final da aula.

Escoamento em dutos: obtenção das equações governantes...

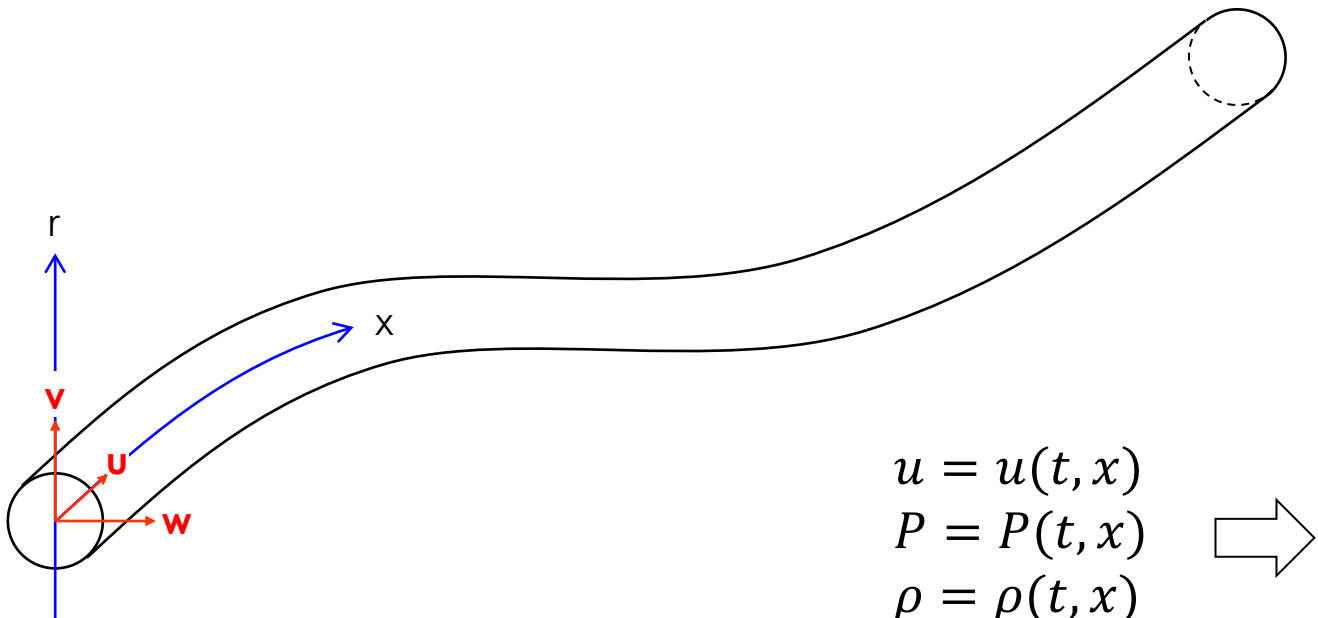


$$u_{med}(x) \stackrel{\text{def}}{=} \frac{1}{A} \int_A u(t, x, r) \cdot dA \rightarrow u(t, x)$$



As questões postadas no Chat do YouTube
serão respondidas ao final da aula.

Escoamento em dutos: obtenção das equações governantes...



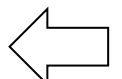
$$u = u(t, x)$$

$$P = P(t, x)$$

$$\rho = \rho(t, x)$$



**Equações
especializadas
(caminho para
a solução)**



Obs.: a densidade pode ser calculada em função da pressão e temperatura



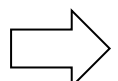
As questões postadas no Chat do YouTube serão respondidas ao final da aula.

Escoamento em dutos: obtenção das equações governantes...

$$u = u(t, x)$$

$$P = P(t, x)$$

$$\rho = \rho(t, x)$$



$$\frac{\partial \rho}{\partial t} + \vec{\nabla} \cdot (\rho \vec{U}) = 0$$

$$\rightarrow \frac{\partial \rho}{\partial t} + \frac{\partial}{\partial x} (\rho u) = \frac{\partial \rho}{\partial t} + u \frac{\partial \rho}{\partial x} + \rho \frac{\partial u}{\partial x} = 0$$

Derivada material: derivada tomada ao longo de um caminho movendo-se com velocidade u

$$\frac{D \odot}{Dt} = \frac{\partial \odot}{\partial t} + u \frac{\partial \odot}{\partial x}$$

Módulo de elasticidade volumétrica de um fluido (compressibilidade)

$$K = \frac{\Delta P}{\Delta Vol/Vol} = \frac{\Delta P}{\rho/\Delta \rho}$$

Velocidade de propagação de pequenas perturbações acústicas (isentrópica)

$$a^2 = \frac{K}{\rho}$$

$$\rightarrow \frac{1}{\rho} \frac{D\rho}{Dt} + \frac{\partial u}{\partial x} = \frac{1}{K} \frac{DP}{Dt} + \frac{\partial u}{\partial x} = 0 \rightarrow$$

$$\frac{\partial P}{\partial t} + \rho a^2 \frac{\partial u}{\partial x} = 0$$



As questões postadas no Chat do YouTube serão respondidas ao final da aula.

Escoamento em dutos: obtenção das equações governantes...

$$\begin{aligned} u &= u(t, x) \\ P &= P(t, x) \\ \rho &= \rho(t, x) \end{aligned} \quad \rightarrow \quad \rho \cdot \left(\frac{\partial \vec{u}}{\partial t} + \vec{u} \cdot \vec{\nabla} \vec{u} \right) = -\vec{\nabla} P + \mu \nabla^2 \vec{u} + \sum \vec{F}_{3D} \quad \rightarrow \quad \rho \cdot \left(\frac{\partial u}{\partial t} + u \cdot \frac{\partial u}{\partial x} \right) = -\frac{\partial P}{\partial x} + \mu \frac{\partial^2 u}{\partial x^2} + \sum \vec{F}_{3D}$$

Força gravitacional exercida sobre o fluido em função da inclinação da tubulação em relação à horizontal

$$F_g = \rho g \sin \theta$$

Como não há deslizamento entre as camadas de fluido a ação das forças viscosas pode ser modelada pela equação de Darcy-Weisbach

$$F_\mu = \pm f \cdot \frac{\rho}{D} \cdot \frac{u^2}{2} \rightarrow F_\mu = f \cdot \frac{\rho}{D} \cdot \frac{u \cdot |u|}{2}$$

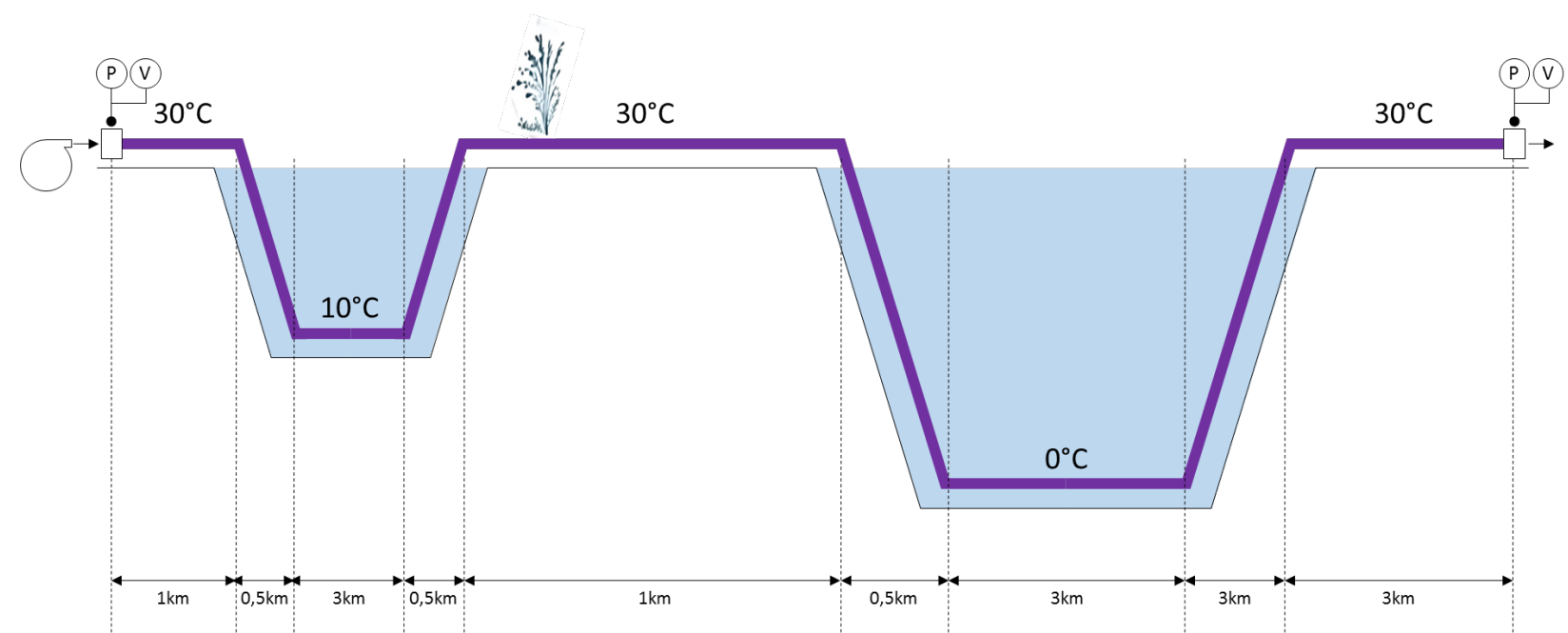
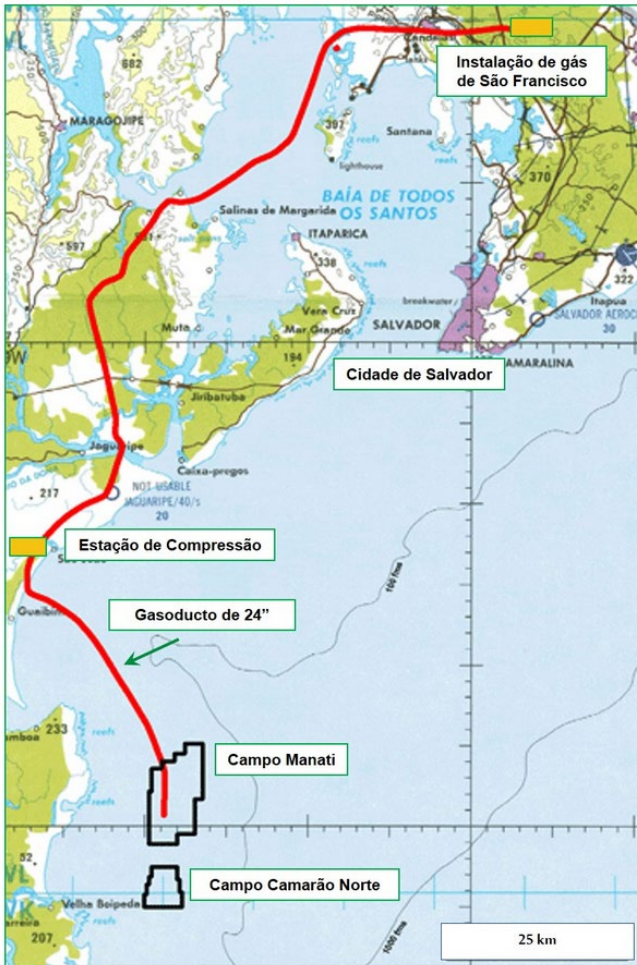


$$\rho \cdot \left(\frac{\partial u}{\partial t} + u \cdot \frac{\partial u}{\partial x} \right) = -\frac{\partial P}{\partial x} + \mu \frac{\partial^2 u}{\partial x^2} + \sum \vec{F}_{3D} \quad \rightarrow \quad \frac{\partial u}{\partial t} + u \cdot \frac{\partial u}{\partial x} + \frac{1}{\rho} \frac{\partial P}{\partial x} + g \sin \theta + f \cdot \frac{u|u|}{2D} = 0$$

$$\frac{\partial P}{\partial t} + \rho a^2 \frac{\partial u}{\partial x} = 0$$

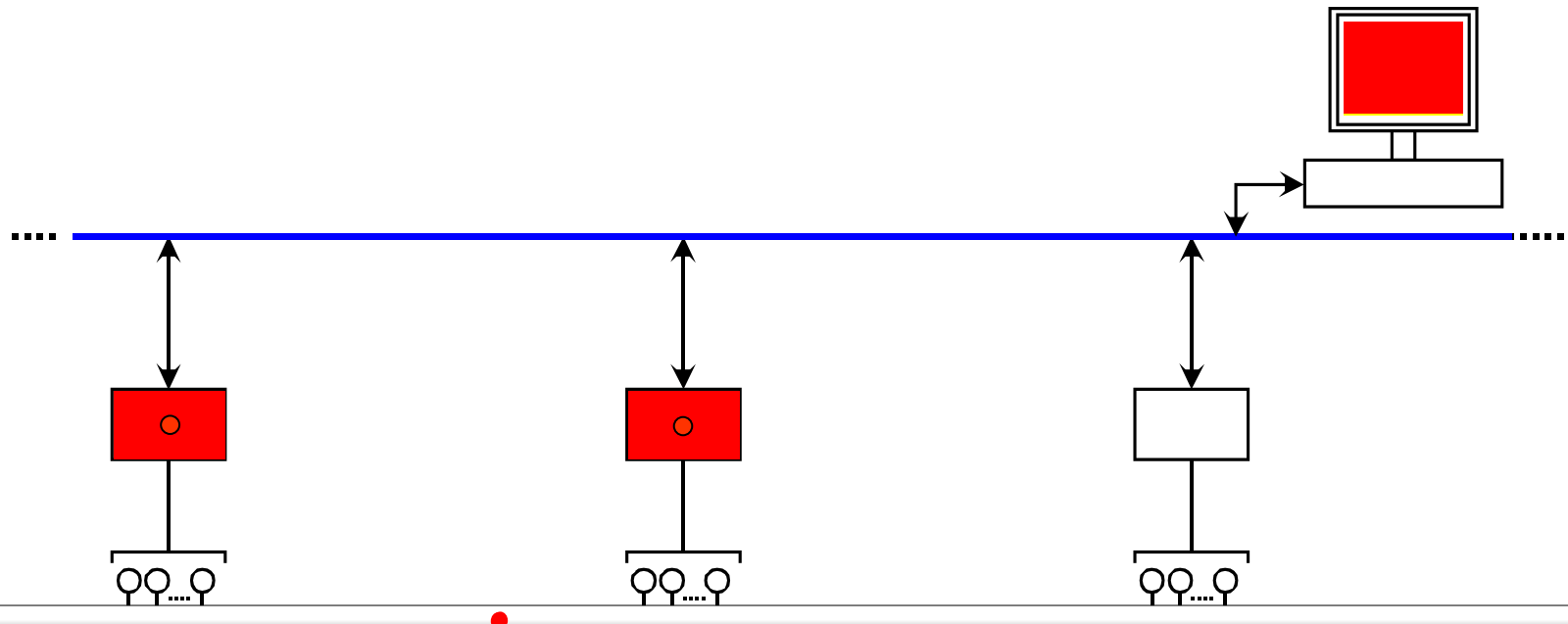
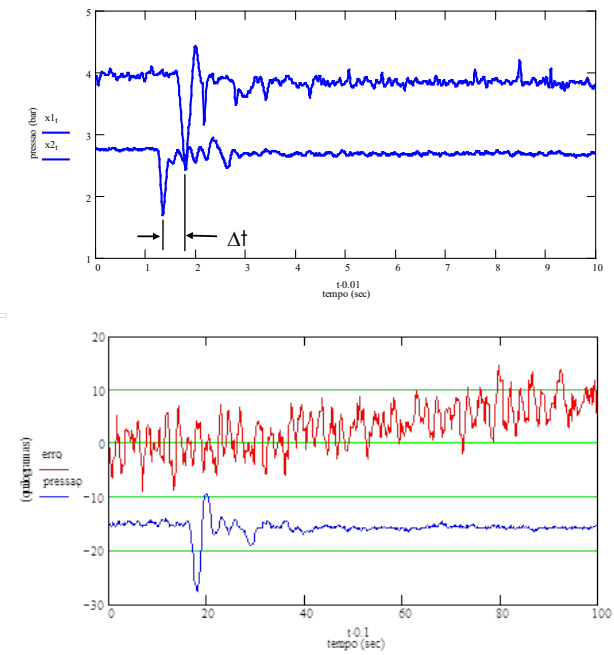
$$u \ll a \rightarrow \frac{\partial u}{\partial t} + \frac{1}{\rho} \frac{\partial P}{\partial x} + g \sin \theta + f \cdot \frac{u|u|}{2D} = 0$$

Exemplo real: detecção de vazamentos em
oleodutos e gasodutos...

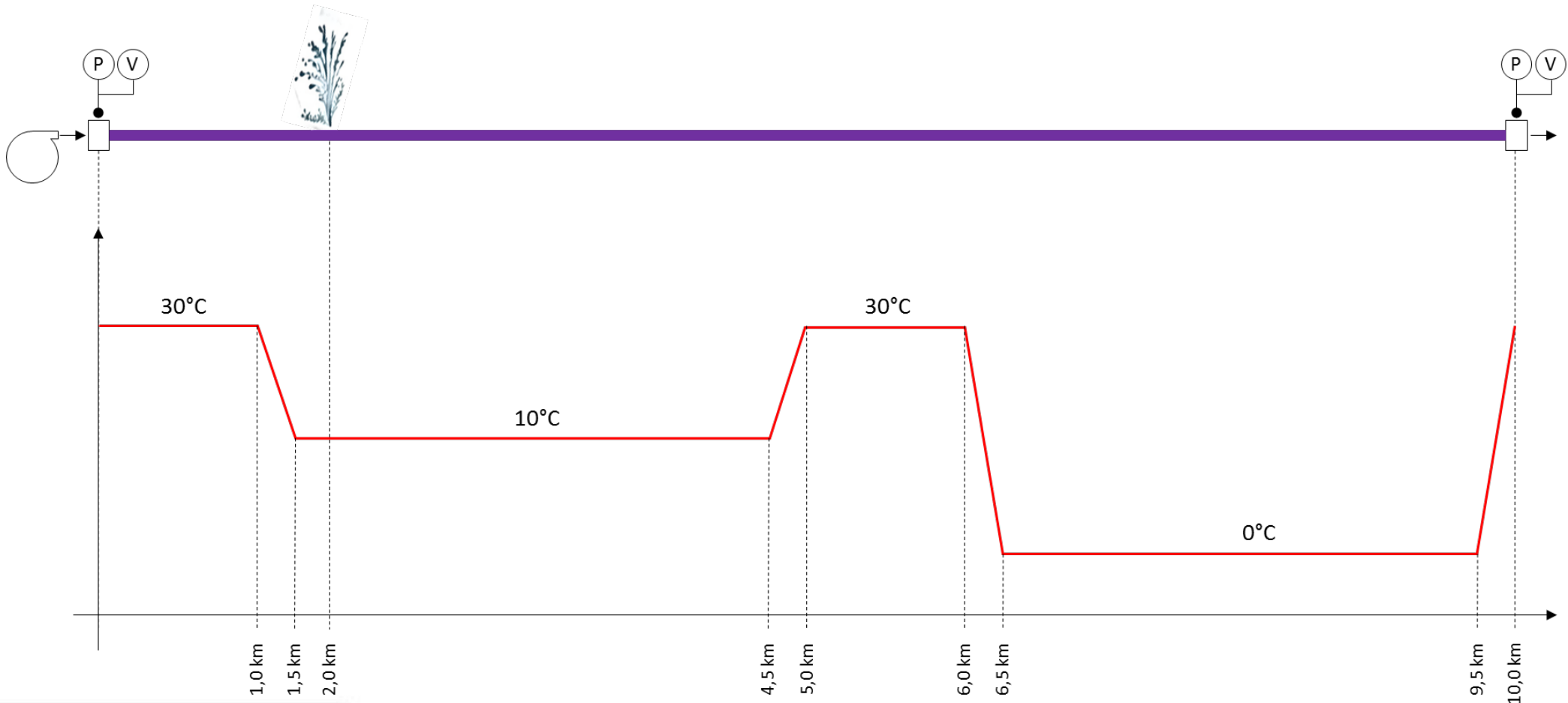




Arquitetura de um sistema de detecção passiva de vazamentos...



As questões postadas no Chat do YouTube
serão respondidas ao final da aula.



As questões postadas no Chat do YouTube
serão respondidas ao final da aula.

Simulador “faster than real time”...

$$\frac{\partial \rho}{\partial t} + \vec{\nabla} \cdot (\rho \vec{u}) = 0$$

$$\left(\frac{\partial \vec{u}}{\partial t} + \vec{u} \cdot \vec{\nabla} \vec{u} \right) = -\vec{\nabla} P + \frac{1}{Re} \nabla^2 \vec{u} + \Sigma \frac{1}{R_k} F_k$$

$$\left(\frac{\partial T}{\partial t} + \vec{u} \cdot \vec{\nabla} T \right) = \frac{1}{Re \, Pr} \vec{\nabla} \cdot (k \vec{\nabla} T) + \frac{E}{Re} \Phi(\vec{u})$$



$$\frac{\partial P}{\partial t} + \rho a^2 \frac{\partial u}{\partial x} = 0$$

$$\frac{\partial u}{\partial t} + \frac{1}{\rho} \frac{\partial P}{\partial x} + g \sin \theta + f \cdot \frac{u|u|}{2D} = 0$$



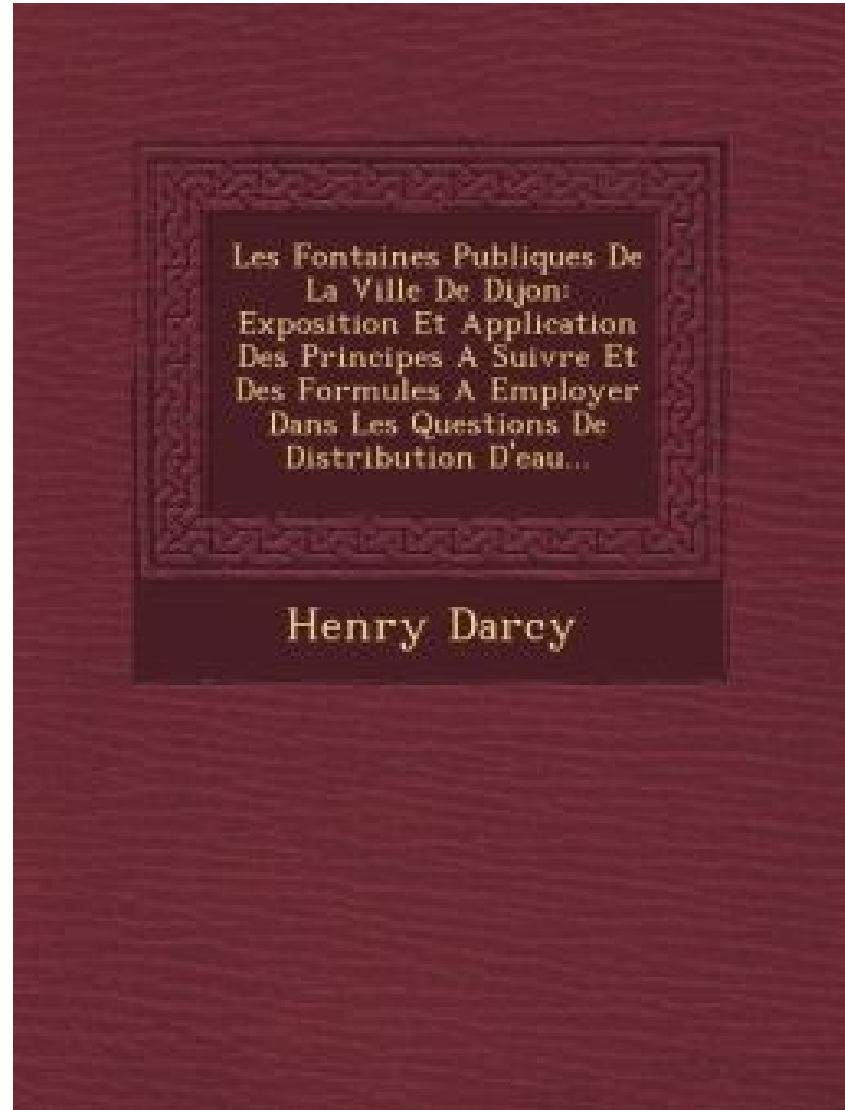
As questões postadas no Chat do YouTube
serão respondidas ao final da aula.

Abordagem histórica: Darcy-Weisbach...

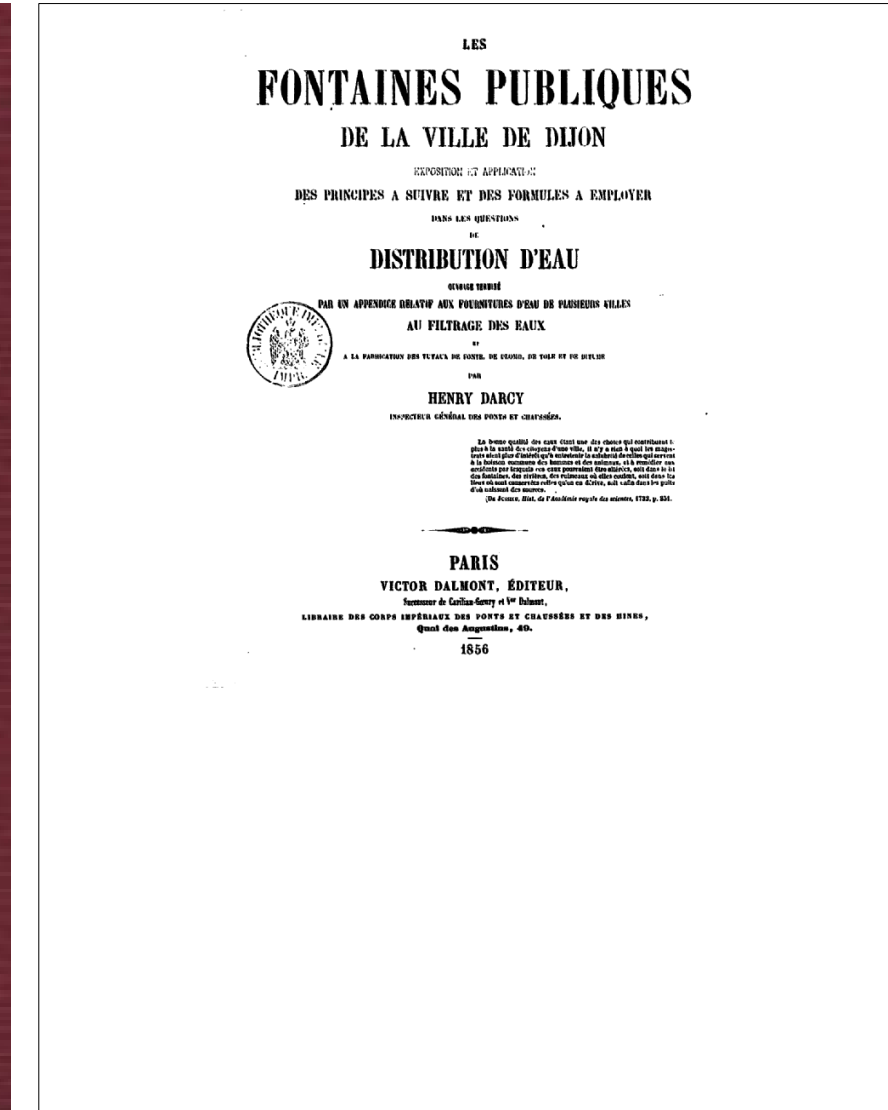
A equação de Darcy-Weisbach e o cálculo do fator de atrito...



Henry Darcy



As questões postadas no Chat do YouTube
serão respondidas ao final da aula.



Source gallica.bnf.fr / Bibliothèque nationale de France

A equação de Darcy-Weisbache e o cálculo do fator de atrito...



Henry Darcy

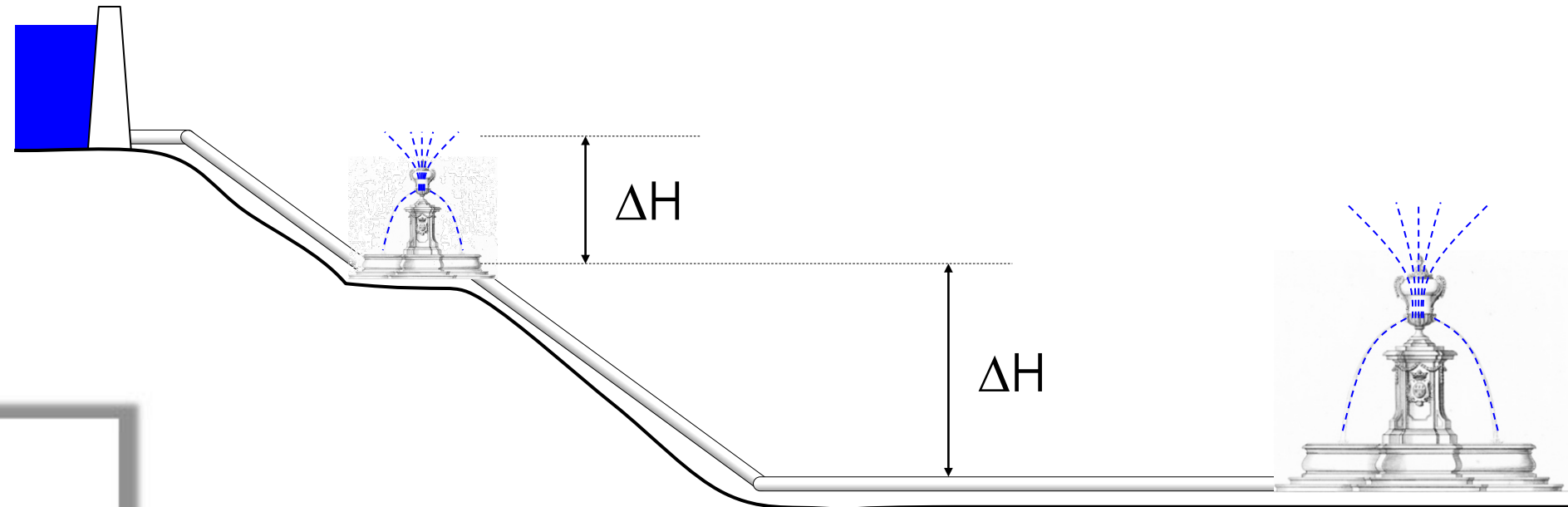


As questões postadas no Chat do YouTube
serão respondidas ao final da aula.

A equação de Darcy-Weisbache e o cálculo do fator de atrito...



Henry Darcy

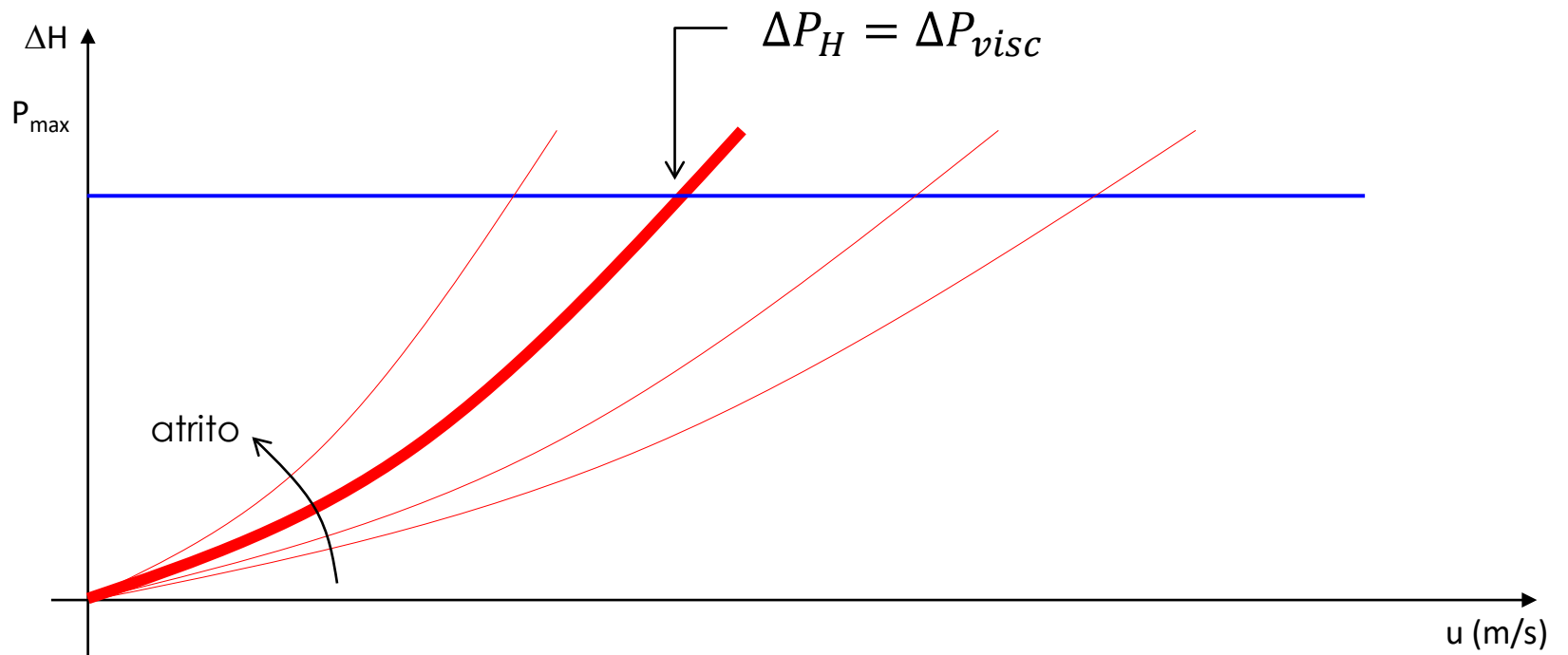


As questões postadas no Chat do YouTube
serão respondidas ao final da aula.

A equação de Darcy-Weisbach e o cálculo do fator de atrito...



Henry Darcy



$$\Delta P_{visc} \stackrel{\text{def}}{=} f \cdot \frac{L}{D} \cdot \rho \frac{V^2}{2} \rightarrow f = f(Re, e/D)$$

fator de atrito



As questões postadas no Chat do YouTube
serão respondidas ao final da aula.

A equação de Darcy-Weisbach e o cálculo do fator de atrito...

Laminar ($Re < 2500$)

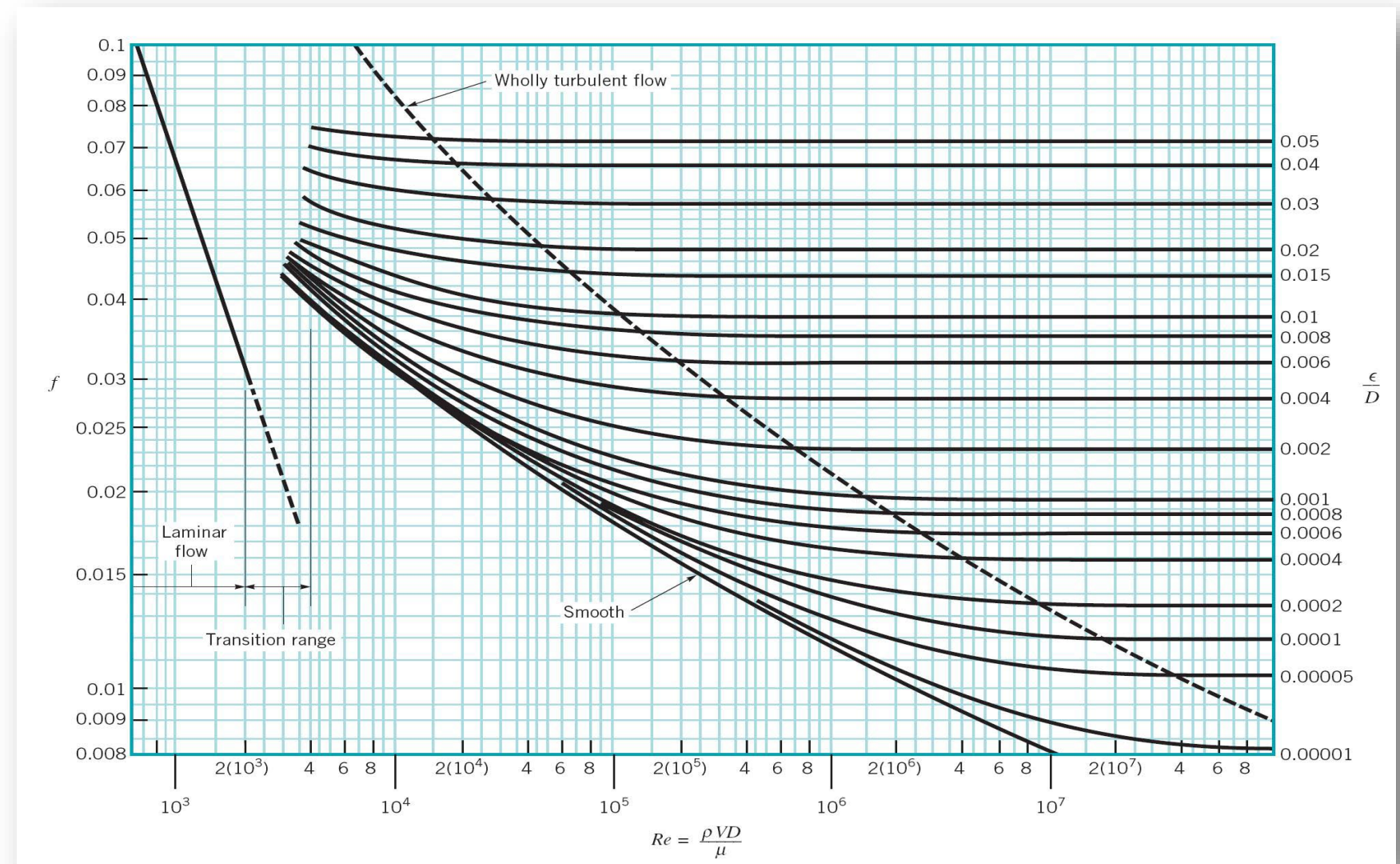
$$f = \frac{64}{Re}$$

Turbulento ($Re > 4000$)

$$\frac{1}{\sqrt{f}} = -2 \log \left(3.7 \frac{\epsilon}{D} + \frac{2.51}{Re \sqrt{f}} \right)$$

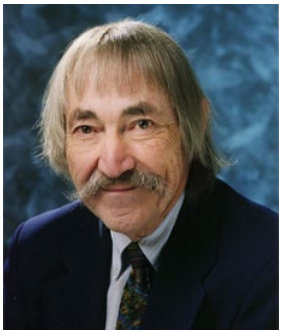
...Colebrook-White

Diagrama de Moody



As questões postadas no Chat do YouTube
serão respondidas ao final da aula.

A equação de Darcy-Weisbach e o cálculo do fator de atrito...

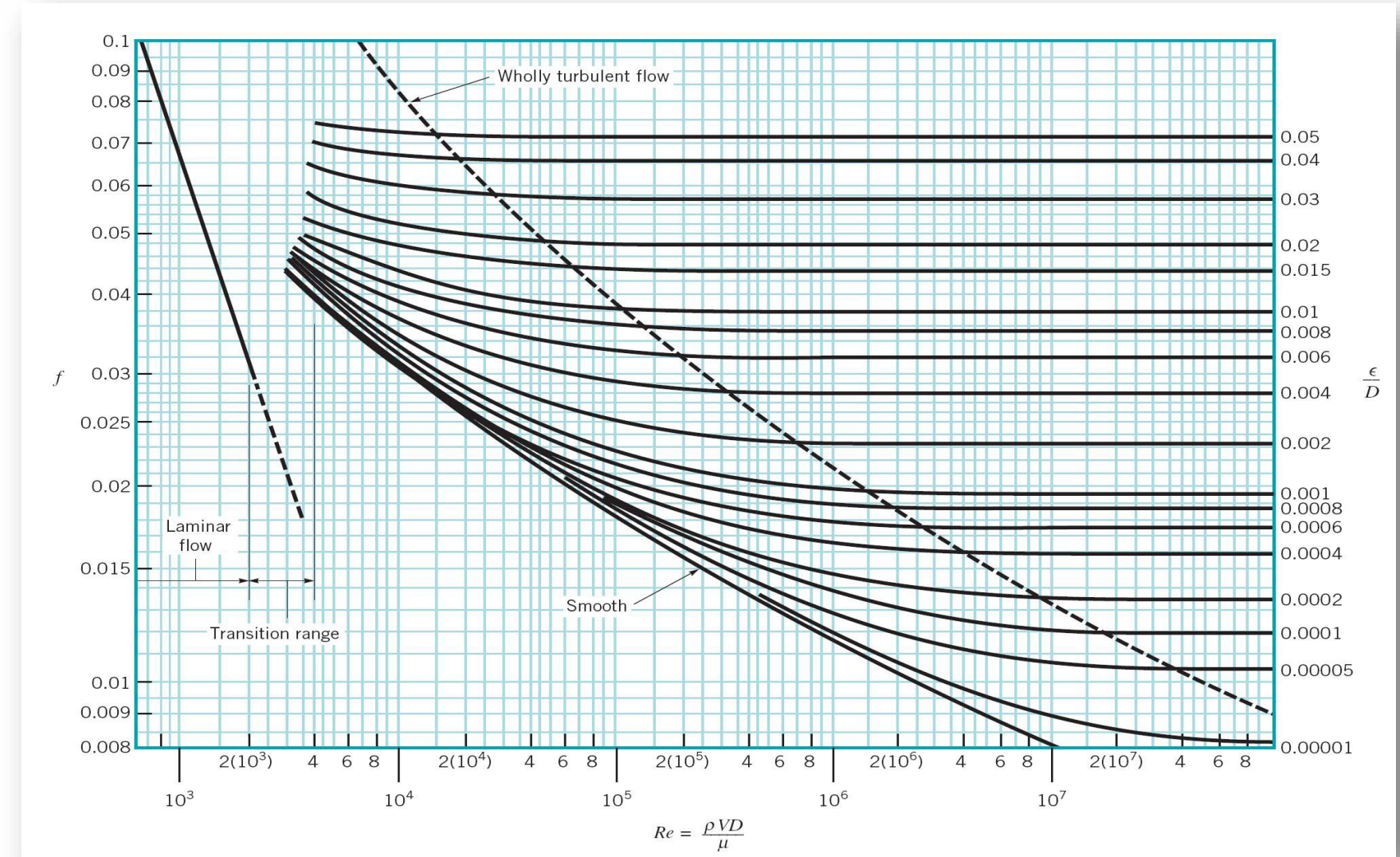


Stuart W. Churchill

$$f = 8 \cdot \left[\left(\frac{8}{Re} \right)^{12} + (A + B)^{-1,5} \right]^{1/12}$$

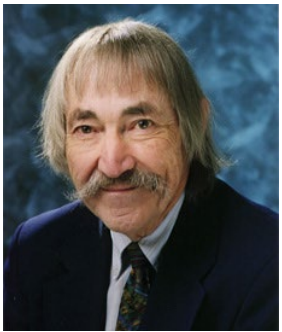
$$A = \left\{ 2,457 \ln \left(\left(\frac{7}{Re} \right)^{0,9} + 0,27 \cdot \frac{\epsilon}{D} \right) \right\}^{16} \quad B = \left(\frac{37530}{Re} \right)^{16}$$

$$Re = \frac{4 \cdot m}{\mu \pi D}$$



As questões postadas no Chat do YouTube
serão respondidas ao final da aula.

A equação de Darcy-Weisbach e o cálculo do fator de atrito...

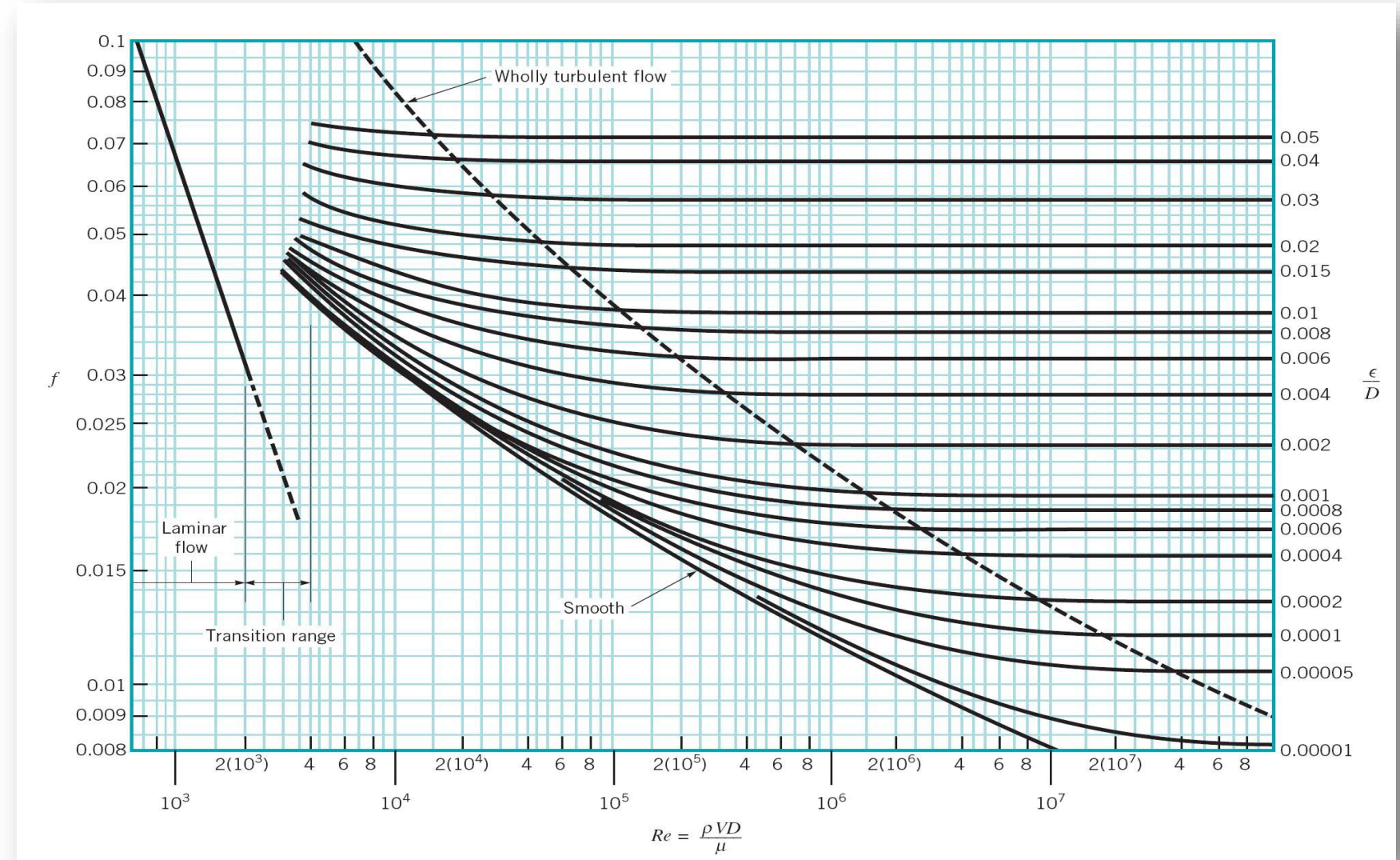


Stuart W. Churchill

$$f = 8 \cdot \left[\left(\frac{8}{Re} \right)^{12} + (A + B)^{-1,5} \right]^{1/12}$$

$$A = \left\{ 2,457 \ln \left(\left(\frac{7}{Re} \right)^{0,9} + 0,27 \cdot \frac{\epsilon}{D} \right) \right\}^{16} \quad B = \left(\frac{37530}{Re} \right)^{16}$$

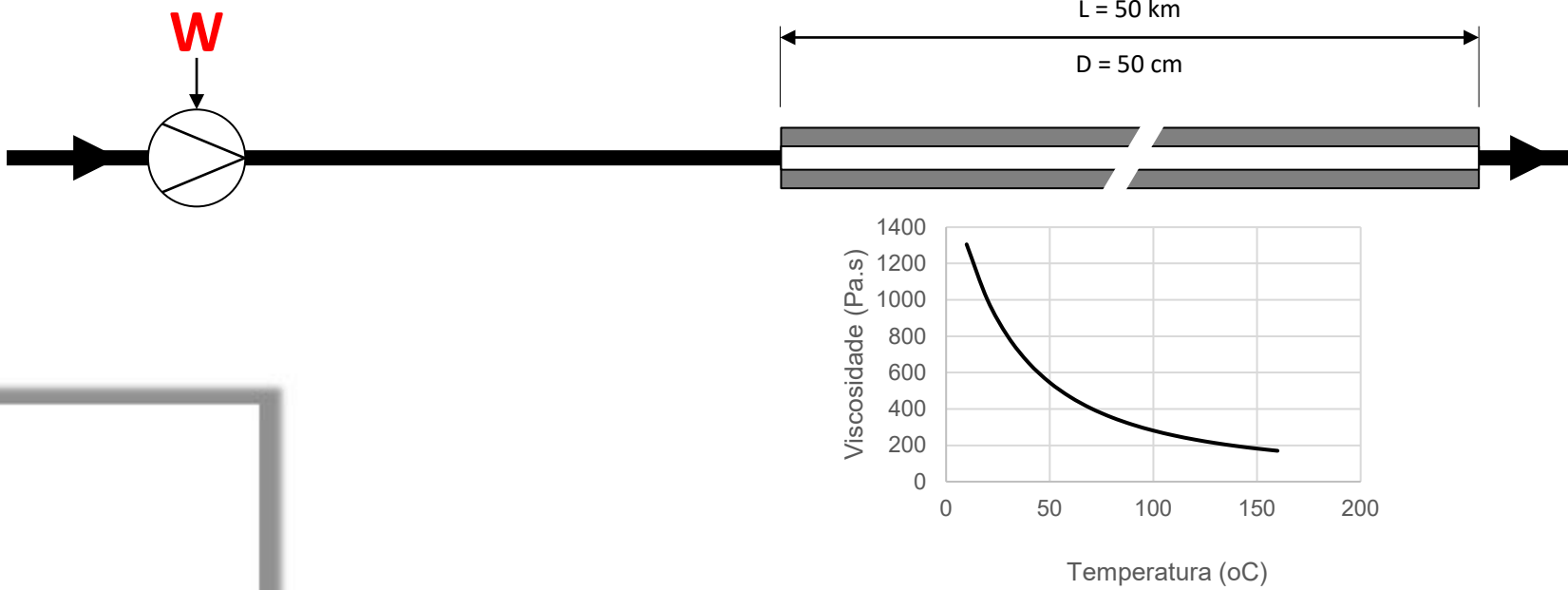
$$Re = \frac{4 \cdot m}{\mu \pi D}$$



As questões postadas no Chat do YouTube
serão respondidas ao final da aula.

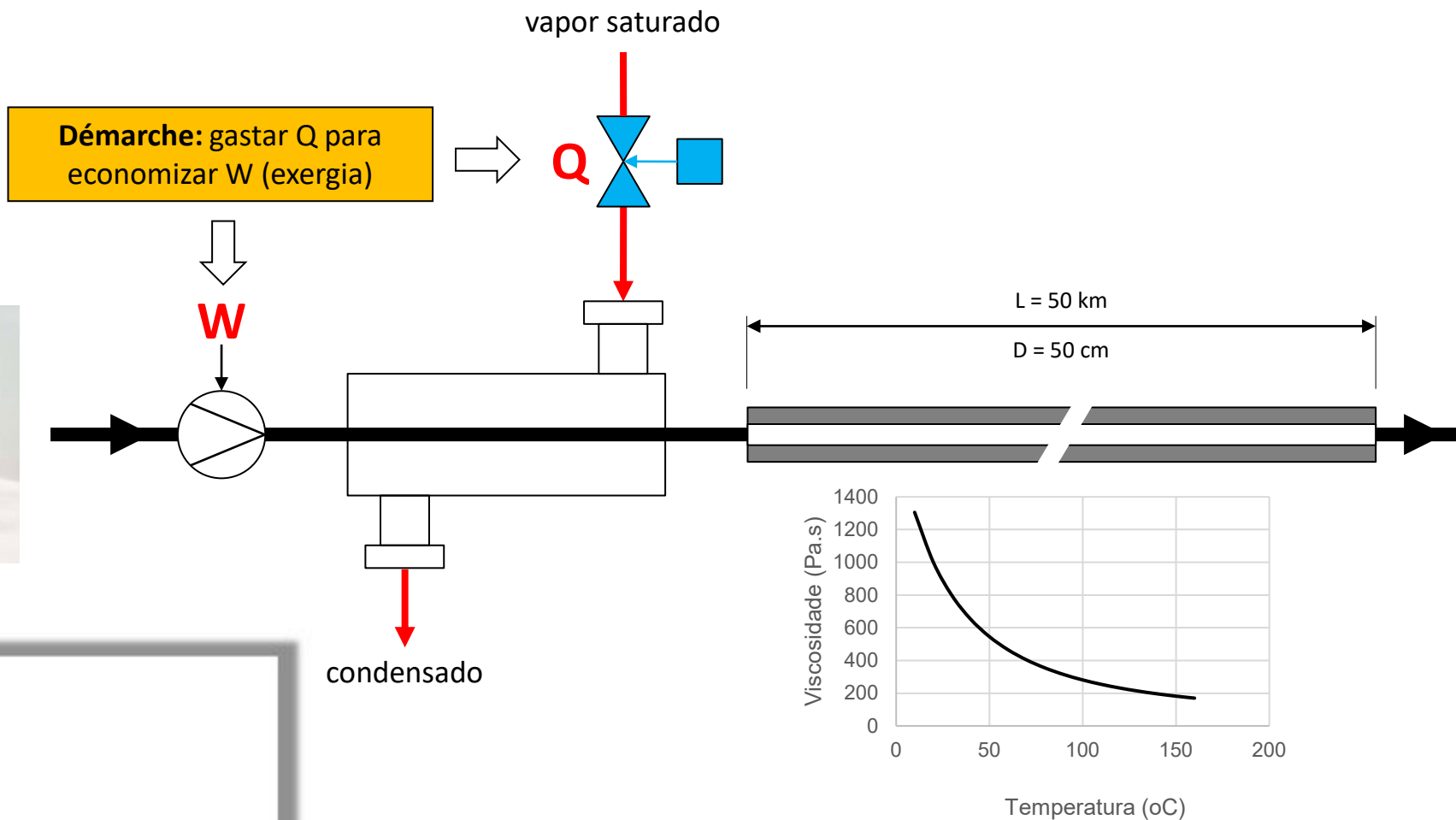
Aplicação: bombeamento de óleo pesado...

Exemplo: bombeamento de óleo ultra viscoso...



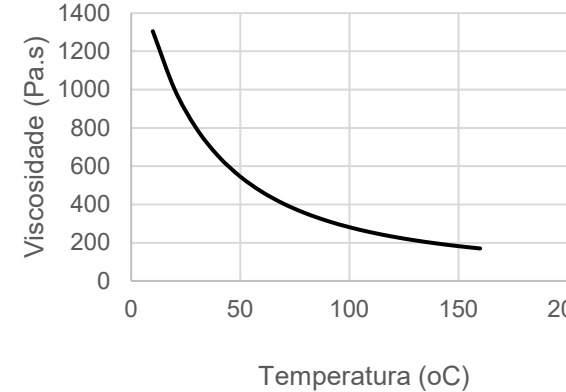
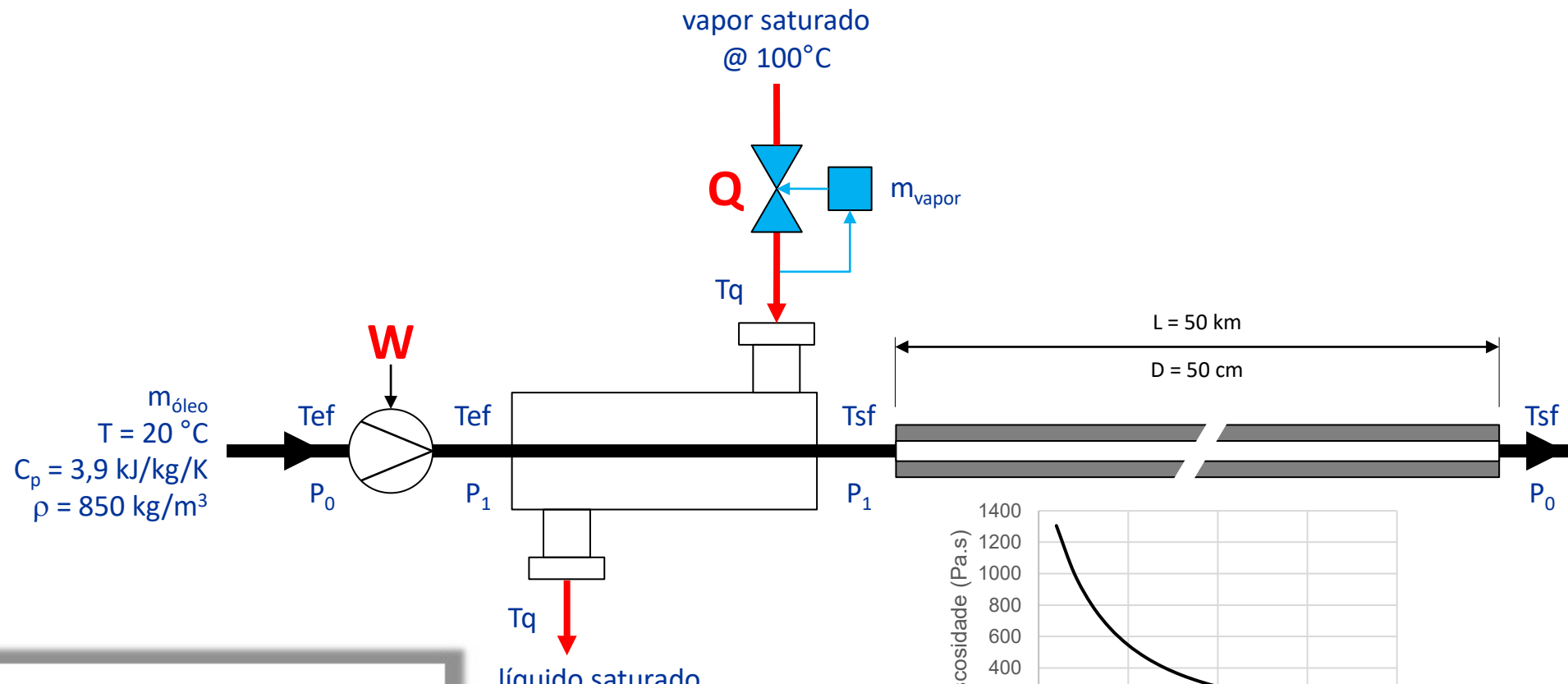
As questões postadas no Chat do YouTube
serão respondidas ao final da aula.

Exemplo: bombeamento de óleo ultra viscoso...



As questões postadas no Chat do YouTube
serão respondidas ao final da aula.

Exemplo: bombeamento de óleo ultra viscoso...



$$\mu(T) = 6.7109 \cdot 10^{-6} \cdot T^4 - 2.9844 \cdot 10^{-3} \cdot T^3 + \dots$$

$$\dots + 5.0341 \cdot 10^{-1} \cdot T^2 - 4.0864 \cdot 10^{+1} \cdot T + 1.6546 \cdot 10^{+3} \quad [\mu] = \text{Pa} \cdot \text{s}, [T] = {}^\circ\text{C}$$

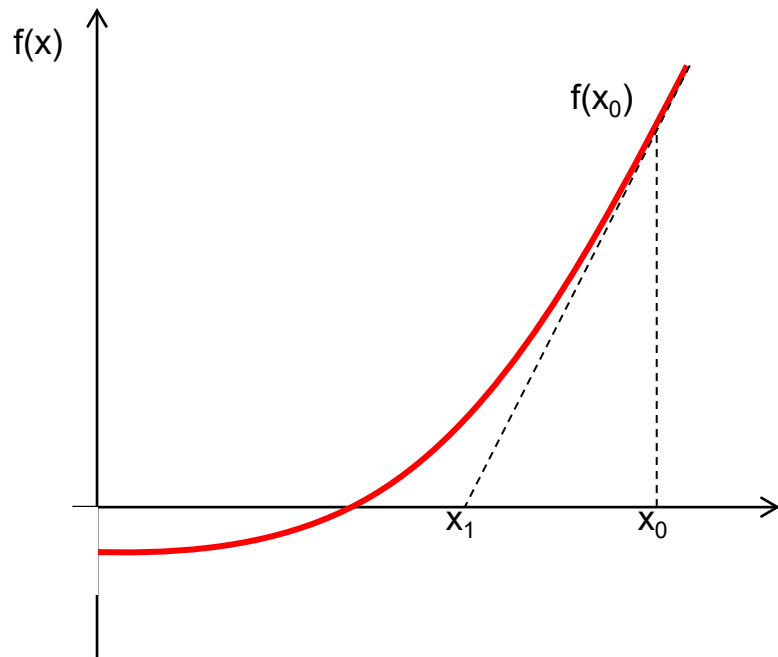
Solução de Equações Não Lineares

NEWTON – RAPHSON



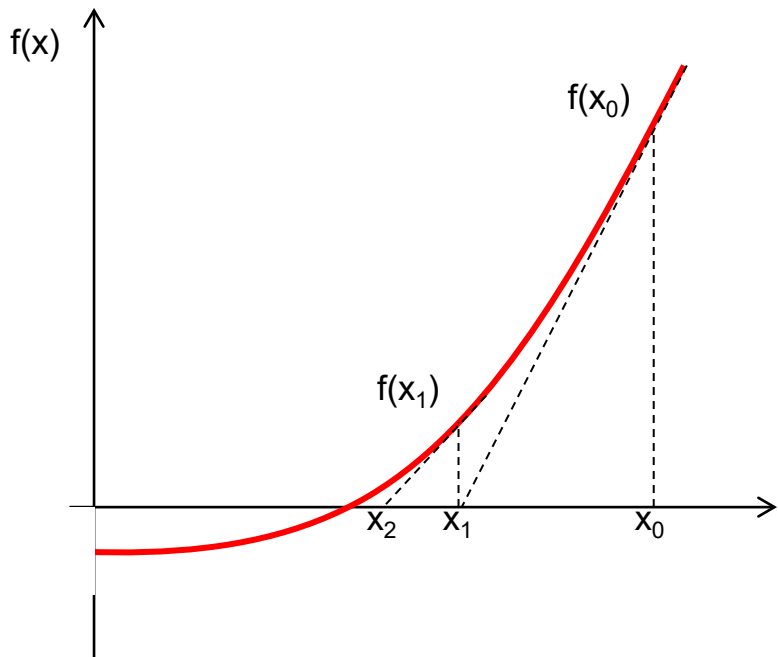
As questões postadas no Chat do YouTube
serão respondidas ao final da aula.

Solução: método de Newton-Raphson 1D



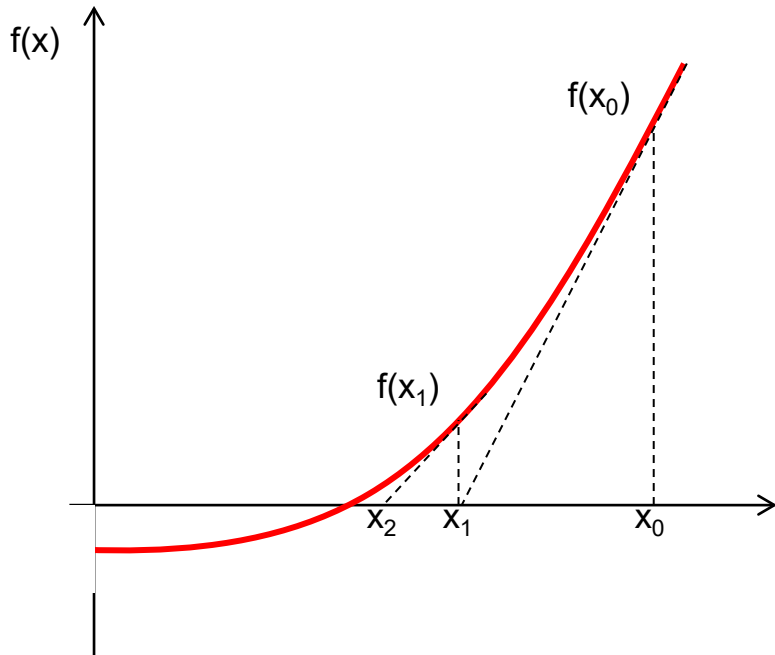
As questões postadas no Chat do YouTube
serão respondidas ao final da aula.

Solução: método de Newton-Raphson 1D



As questões postadas no Chat do YouTube
serão respondidas ao final da aula.

Solução: método de Newton-Raphson 1D



Equação da reta tangente:

$$y = a \cdot x + b$$

$$a = f'(x_0)$$

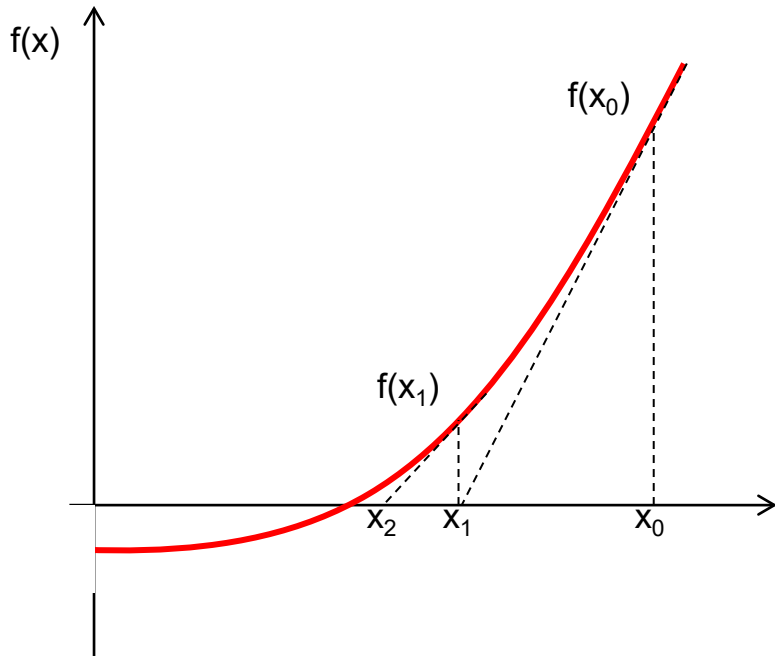
$$f(x_0) = f'(x_0) \cdot x_0 + b$$

$$b = f(x_0) - f'(x_0) \cdot x_0$$



As questões postadas no Chat do YouTube
serão respondidas ao final da aula.

Solução: método de Newton-Raphson 1D



Equação da reta tangente:

$$y = a \cdot x + b$$

$$a = f'(x_0)$$

$$f(x_0) = f'(x_0) \cdot x_0 + b$$

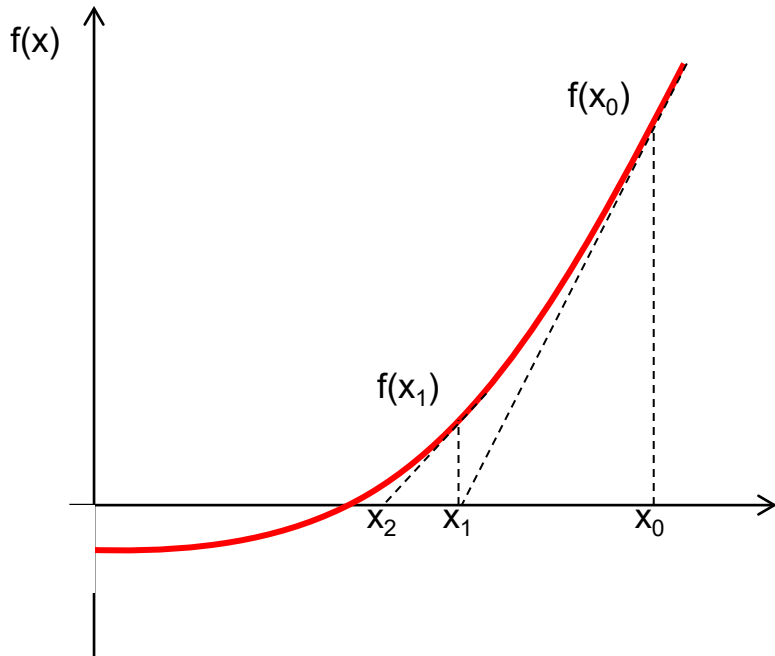
$$b = f(x_0) - f'(x_0) \cdot x_0$$

Raiz da reta tangente:

$$x = -b/a$$

$$x_1 = x_0 - \frac{f(x_0)}{f'(x_0)}$$

Solução: método de Newton-Raphson 1D



Equação da reta tangente:

$$y = a \cdot x + b$$

$$a = f'(x_0)$$

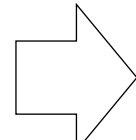
$$f(x_0) = f'(x_0) \cdot x_0 + b$$

$$b = f(x_0) - f'(x_0) \cdot x_0$$

Raiz da reta tangente:

$$x = -b/a$$

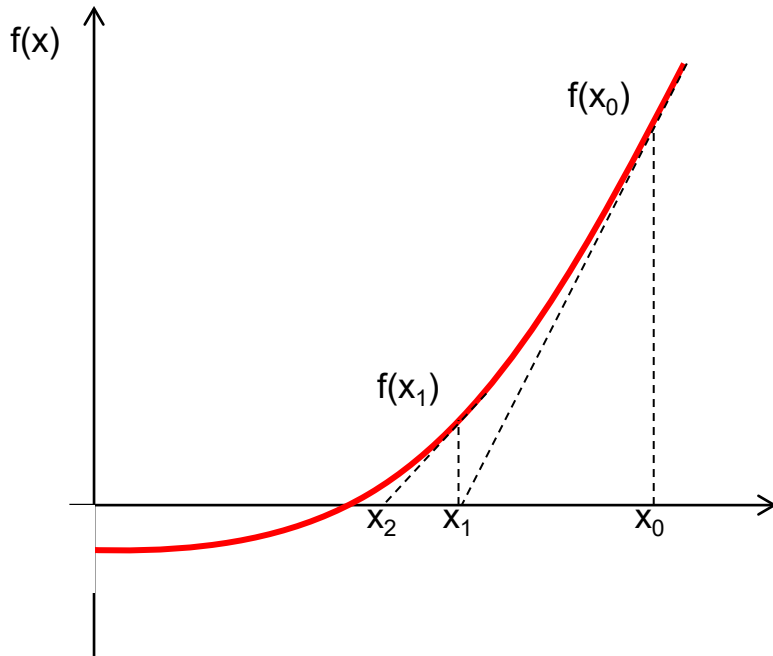
$$x_1 = x_0 - \frac{f(x_0)}{f'(x_0)}$$



Fórmula de recorrência

$$x_{k+1} = x_k - \frac{1}{f'(x_k)} \times f(x_k)$$

Solução: método de Newton-Raphson 1D



Equação da reta tangente:

$$y = a \cdot x + b$$

$$a = f'(x_0)$$

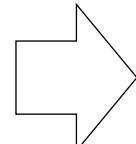
$$f(x_0) = f'(x_0) \cdot x_0 + b$$

$$b = f(x_0) - f'(x_0) \cdot x_0$$

Raiz da reta tangente:

$$x = -b/a$$

$$x_1 = x_0 - \frac{f(x_0)}{f'(x_0)}$$



Fórmula de recorrência N×N

$$\vec{x}_{k+1} = \vec{x}_k - \text{Jac}_k^{-1} \times \vec{f}(\vec{x}_k)$$

Solução: método de Newton-Raphson 1D

Fórmula de recorrência

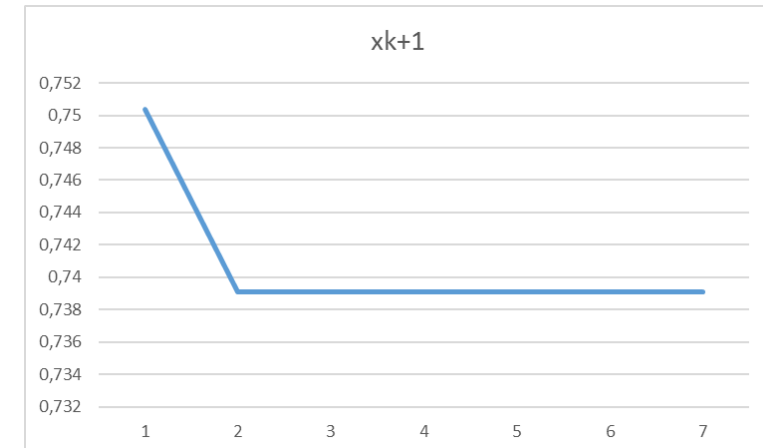
$$f(x) = \cos(x) - x = 0$$

$$f'(x) = -\sin(x) - 1$$

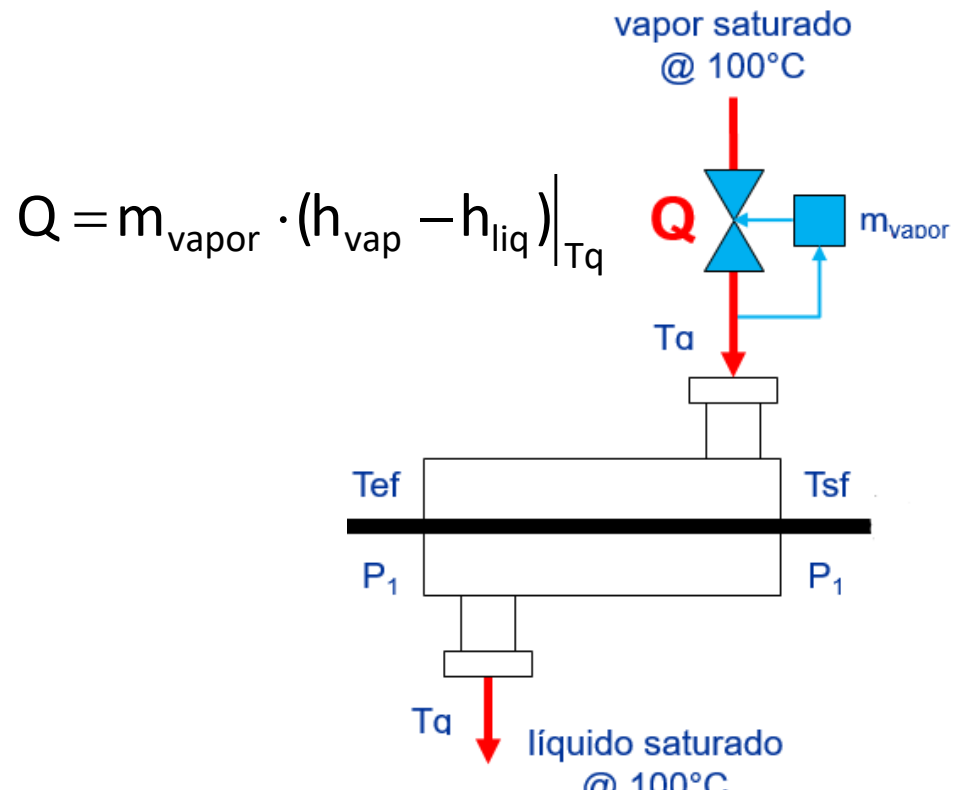
$$x_{k+1} = x_k - \frac{1}{f'(x_k)} \times f(x_k)$$

$$x_{k+1} = x_k - \frac{\cos(x_k) - x_k}{-\sin(x_k) - 1}$$

| xk | f(xk) | f'(xk) | xk+1 |
|----------|----------|----------|----------|
| 1 | -0,4597 | -1,84147 | 0,750364 |
| 0,750364 | -0,01892 | -1,6819 | 0,739113 |
| 0,739113 | -4,6E-05 | -1,67363 | 0,739085 |
| 0,739085 | -2,8E-10 | -1,67361 | 0,739085 |
| 0,739085 | 0 | -1,67361 | 0,739085 |
| 0,739085 | 0 | -1,67361 | 0,739085 |
| 0,739085 | 0 | -1,67361 | 0,739085 |

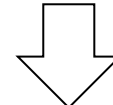


Exemplo: bombeamento de óleo ultra viscoso...



$$Q = m_{\text{óleo}} C p_{\text{óleo}} \cdot (T_{sf} - T_{ef})$$

$$Q = U A \cdot \Delta \bar{T} \rightarrow \Delta \bar{T} = \frac{[(T_q - T_{sf}) - (T_q - T_{ef})]}{\ln \left(\frac{T_q - T_{sf}}{T_q - T_{ef}} \right)}$$

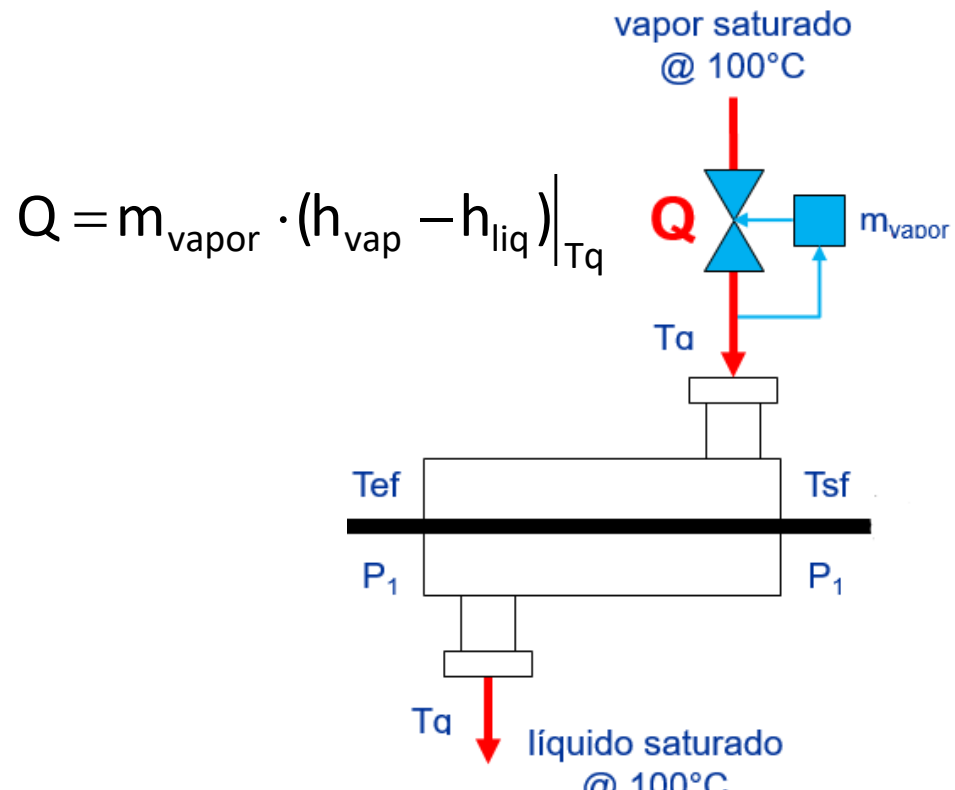


$$(T_q - T_{sf}) = (T_q - T_{ef}) \cdot \exp \left(\frac{-UA}{m_{\text{óleo}} C p_{\text{óleo}}} \right)$$



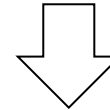
As questões postadas no Chat do YouTube
serão respondidas ao final da aula.

Exemplo: bombeamento de óleo ultra viscoso...



$$Q = m_{óleo} C_{p,óleo} \cdot (T_{sf} - T_{ef})$$

$$Q = UA \cdot \Delta \bar{T} \rightarrow \Delta \bar{T} = \frac{[(T_q - T_{sf}) - (T_q - T_{ef})]}{\ln \left(\frac{T_q - T_{sf}}{T_q - T_{ef}} \right)}$$



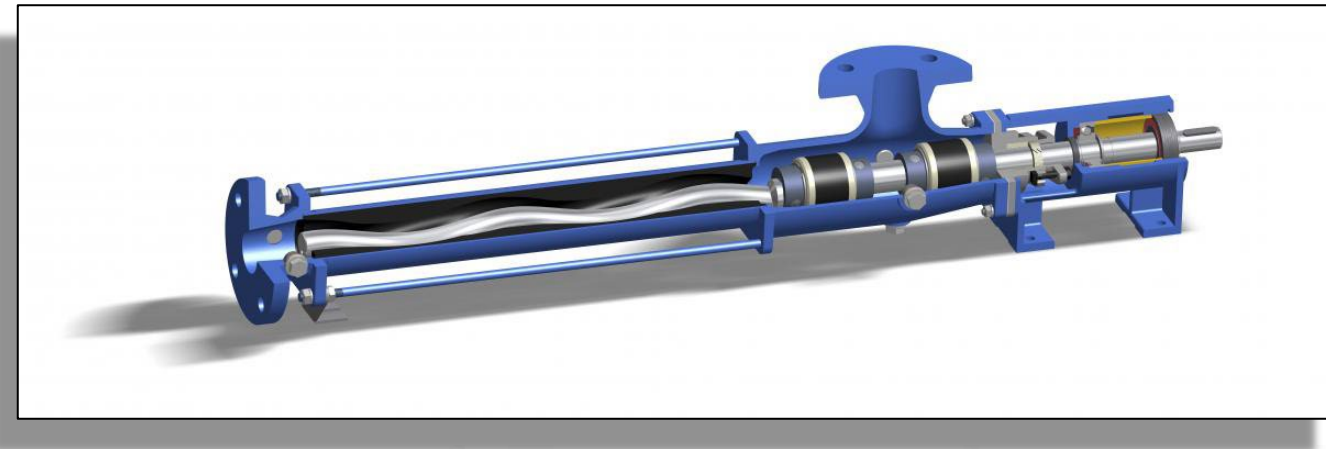
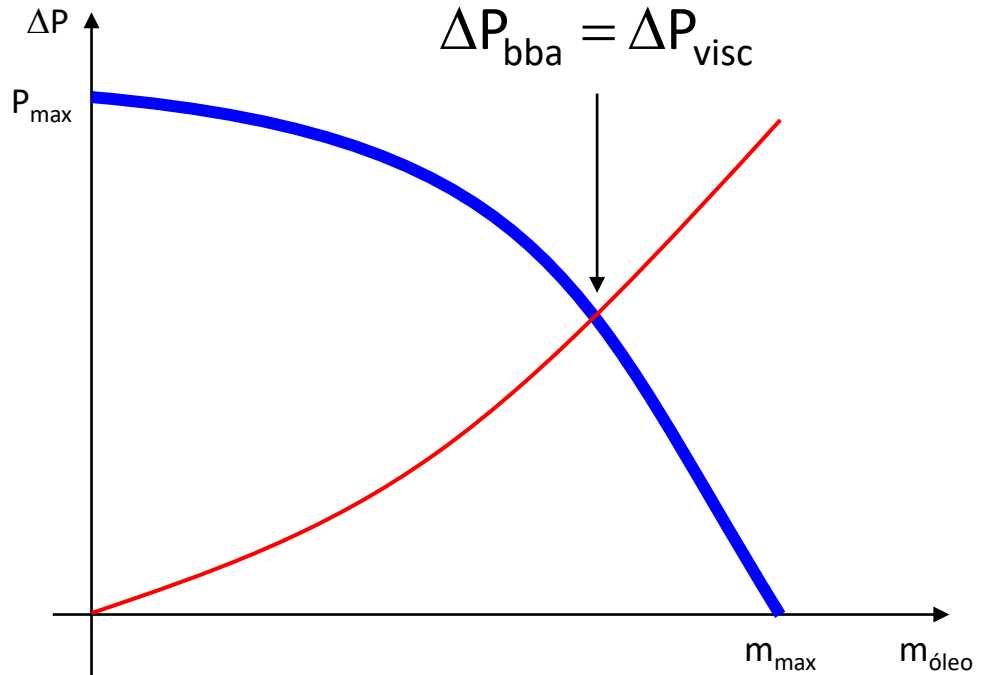
$$(T_q - T_{sf}) = (T_q - T_{ef}) \cdot \exp \left(\frac{-UA}{m_{óleo} C_{p,óleo}} \right)$$

$$f_l = (T_q - T_{sf}) - (T_q - T_{ef}) \cdot \exp \left(\frac{-UA}{m_{óleo} C_{p,óleo}} \right)$$



As questões postadas no Chat do YouTube
serão respondidas ao final da aula.

Exemplo: bombeamento de óleo ultra viscoso...

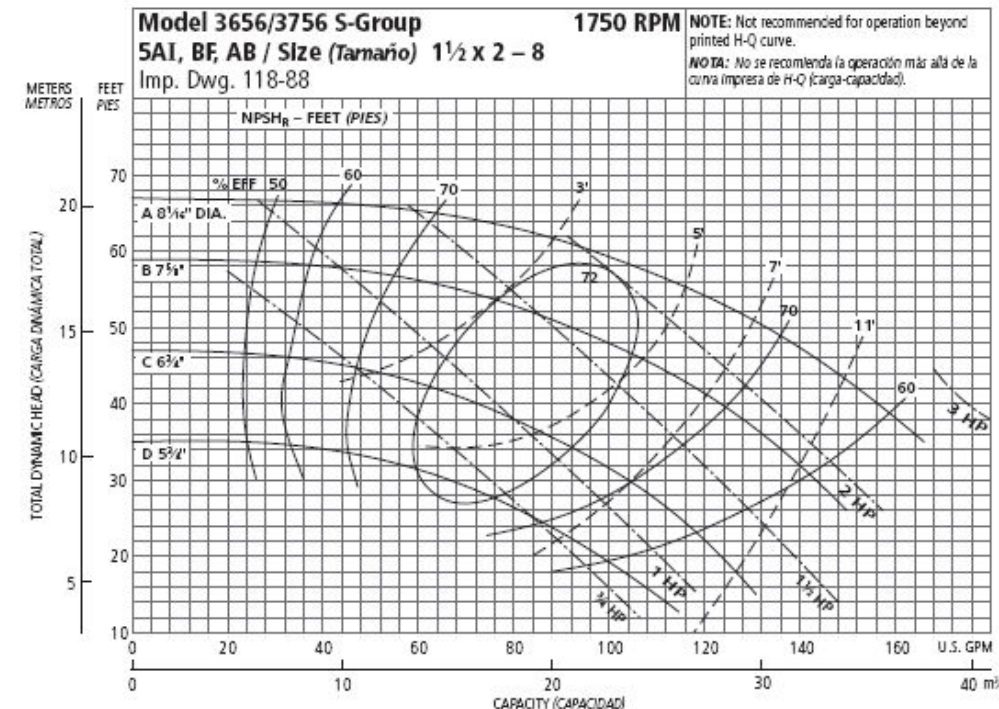


Os parâmetros P_{\max} , m_{\max} e n podem ser obtidos das curvas fornecidas pelo fabricante...

$$\Delta P_{\text{bba}} = P_{\max} \cdot \left[1 - \left(\frac{m_{\text{óleo}}}{m_{\max}} \right)^n \right]$$



As questões postadas no Chat do YouTube serão respondidas ao final da aula.



Exemplo: bombeamento de óleo ultra viscoso...

$$f_2 = P_{\max} \cdot \left[1 - \left(\frac{m_{\text{óleo}}}{m_{\max}} \right)^n \right] - f(\text{Re}) \cdot 0,8106 \frac{L}{\rho D^5} \cdot m^2$$

$$\text{Re} = \frac{4 \cdot m_{\text{óleo}}}{\mu \pi D}$$

T = Tsf

$$\mu(T) = 6.7109 \cdot 10^{-6} \cdot T^4 - 2.9844 \cdot 10^{-3} \cdot T^3 + \dots$$

$$\dots + 5.0341 \cdot 10^{-1} \cdot T^2 - 4.0864 \cdot 10^{+1} \cdot T + 1.6546 \cdot 10^{+3}$$



As questões postadas no Chat do YouTube
serão respondidas ao final da aula.

Exemplo: bombeamento de óleo ultra viscoso...

$$f_1(m_{\text{óleo}}, T_{sf}) = (T_q - T_{sf}) - (T_q - T_{ef}) \cdot \exp\left(\frac{-UA}{m_{\text{óleo}} C_{p_{\text{óleo}}}}\right)$$

$$f_2(m_{\text{óleo}}, T_{sf}) = P_{\max} \cdot \left[1 - \left(\frac{m_{\text{óleo}}}{m_{\max}} \right)^n \right] - f(Re) \cdot 0,8106 \frac{L}{\rho D^5} \cdot m_{\text{óleo}}^2$$

$$\begin{bmatrix} m_{\text{óleo}} \\ T_{sf} \end{bmatrix}_{k+1} = \begin{bmatrix} m_{\text{óleo}} \\ T_{sf} \end{bmatrix}_k - [\text{Jac}]_k^{-1} \cdot \begin{bmatrix} f_1 \\ f_2 \end{bmatrix}_k$$



As questões postadas no Chat do YouTube
serão respondidas ao final da aula.

Exemplo: bombeamento de óleo ultra viscoso...

The screenshot shows a Microsoft Excel spreadsheet titled "T1 Aquecimento de óleo para reduzir a potência de bombeio.xlsx". The spreadsheet is organized into several sections:

- Parâmetros (Row 1):** A header row containing "parâmetros" in bold.
- Physical Properties (Rows 2-3):** Cp (4,19 kJ/kg/K) and ρ (998 kg/m³).
- Temperature Data (Rows 4-7):** Tef (20 °C), Tq (100 °C), UA (5 kW/k).
- Flow Rates (Rows 8-10):** Pmax (150 bar), mmax (5 kg/s), n (1,2 nd).
- Dimensions and Epsilon (Rows 11-17):** D (7,50E-02 m), L (50000 m), e (1 mm), eps (0,01 any).
- Performance Parameters (Rows 18-19):** μ (3,27914E-01 Pa.s), Re (33,546 nd), f (1,908 nd), P (137,082 bar), V (8,818 m/min), Wbba (534,013 kW), TT (94,506 horas).
- Results (Rows 20-21):** xk (0,64796256 kg/s), fk (0 oC), f1 (0,00E+00 Bar), f2 (-235,518819 1,39722013 °C), mólleo (1 -0,00488835 -0,003498624), Tsf (87,3154972 °C), dmólleo (0 kg/s), dTsf (0 oC), 1 (1), 2 (2).

The "parâmetros" column (D) is highlighted in yellow, and the "Desempenho" section (Rows 18-19) is also highlighted in yellow.

| | A | B | C | D | E | F | G | H | I | J | K | L | M | N |
|----|------------|----------|---------|---|--------|-------------|-------|---------|----------|------|----|-------------|--------------|---|
| 1 | parâmetros | | | | xk | | | | fk | | | mólleo | Tsf | |
| 2 | Cp | 4,19 | kJ/kg/K | | mólleo | 0,64796256 | kg/s | f1 | 0 | oC | f1 | -36,0056364 | -1 | |
| 3 | ρ | 998 | kg/m³ | | Tsf | 87,3154972 | oC | f2 | 0,00E+00 | Bar | f2 | -235,518819 | 1,39722013 | |
| 4 | | | | | xk | | | fk | | | 1 | 2 | | |
| 5 | Tef | 20 | oC | | mólleo | 0,64796256 | kg/s | dmólleo | 0 | kg/s | 1 | -0,00488835 | -0,003498624 | |
| 6 | Tq | 100 | oC | | Tsf | 87,3154972 | oC | dTsf | 0 | oC | 2 | -0,8239919 | 0,1259702 | |
| 7 | UA | 5 | kW/k | | | | | | | | | | | |
| 8 | | | | | | | | | | | | | | |
| 9 | Pmax | 150 | bar | | | | | | | | | | | |
| 10 | mmax | 5 | kg/s | | | | | | | | | | | |
| 11 | n | 1,2 | nd | | μ | 3,27914E-01 | Pa.s | | | | | | | |
| 12 | | | | | Re | 33,546 | nd | | | | | | | |
| 13 | D | 7,50E-02 | m | | f | 1,908 | nd | = 64/Re | | | | | | |
| 14 | L | 50000 | m | | P | 137,082 | bar | | | | | | | |
| 15 | e | 1 | mm | | V | 8,818 | m/min | | | | | | | |
| 16 | | | | | Wbba | 534,013 | kW | | | | | | | |
| 17 | eps | 0,01 | any | | TT | 94,506 | horas | | | | | | | |
| 18 | | | | | | | | | | | | | | |
| 19 | | | | | | | | | | | | | | |



As questões postadas no Chat do YouTube
serão respondidas ao final da aula.

Exemplo: bombeamento de óleo ultra viscoso...



Tutorial: Bombeio de Óleo

https://www.youtube.com/watch?v=6SIqQKqvMzs&index=2&list=PLmh08Rcn60c_duh02aThHOAHp-x7fmA-&t=1002s

Search

120% C Search

Sistema de pré-aquecimento de óleo "baiano"...

Démarche: gastar Q para economizar W (exergia)

vapor saturado

L = 50 km
D = 50 cm

condensado

Viscosidade (Pa·s) vs Temperatura (°C)

Tutorial: Bombeio de Óleo Pesado

216 views

13 likes 0 dislikes

SHARE ...

EDIT VIDEO

Paulo Seleg him

Published on Aug 19, 2016

Modelagem e simulação de sistemas industriais
O Método de Newton-Raphson:
Simulação do Bombeamento de Óleo Pesado

Tutoriais e exercícios

Paulo Seleg him - 2 / 6

- 1 Tutorial: Balanço de exergia em uma turbina de dois estágios
- 2 Tutorial: Bombeio de Óleo Pesado
- 3 Ao Vivo: TUTORIAL - CICLOS DE RANKINE MODIFICADOS 1/2
- 4 Ao Vivo: TUTORIAL - CICLOS DE RANKINE MODIFICADOS 2/2
- 5 Ex. 6-1 Çengel de Transcal
- 6 Tutorial - Análise Exergética Caldeira Regenerativa + Turbina

T3 Conversão de Energia Térmica 1/3

Paulo Seleg him 647 views

EXERGY

Introduction to Exergy

Paulo Seleg him 77 views New

T2 Análise Técnico-Econômica

12:21 POR PTB2 01/10/2017

<https://youtu.be/6SIqQKqvMzs>



As questões postadas no Chat do YouTube serão respondidas ao final da aula.



- | | | | |
|--------------------------|---------------------------|----------------------------|-----------------------------|
| 1. Lindner, Kurt | 27. Tschinkel, Dr. J.G. | 53. Urbanski, Arthur | 79. Wiesman, Walter |
| 2. Jungert, Wilhelm | 28. Drawe, Gerhard P. | 54. Tiller, Werner | 80. Buchhold, Dr. Theodor |
| 3. Debus, Dr. Kurt | 29. Heller, Gerhard | 55. Woerdemann, Hugo | 81. Rees, Dr. Eberhard H. |
| 4. Fischel, Dr. Edward | 30. Boehm, Josef | 56. Schilling, Dr. Martin | 82. Hirschler, Otto |
| 5. Gruene, Dr. Hans F. | 31. Muehlner, Dr. J.W. | 57. Schuler, Albert E. | 83. Poppel, Theodor A. |
| 6. Mrazek, Dr. William | 32. Rudolph, Dr. Arthur | 58. Lindenmayr, Hans J. | 84. Kroll, Gustav A. |
| 7. | 33. Angele, Wilhelm | 59. Zoike, Helmut | 85. Voss, Werner E. |
| 8. Schlitt, Dr. Helmuth | 34. Ball, Erich K. | 60. Paul, Hans G. | 86. Beier, Anton |
| 9. Axter, Dr. Herbert | 35. Heusinger, Bruno K. | 61. Rothe, Heinrich C. | 87. Zeiler, Albert |
| 10. Vowe, Theodor K. | 36. Novak, Max E. | 62. Roth, Ludwig | 88. Schlidl, Rudolf H. |
| 11. Beichel, Rudolf | 37. Mueller, Dr. Fritz | 63. Steinhoff, Dr. Ernst | 89. Steurer, Dr. Wolfgang |
| 12. Helm, Bruno K. | 38. Finzel, Alfred J. | 64. Reisig, Gerhard H. | 90. deBeek, Gerd W. |
| 13. Holderer, Oscar | 39. Fuhrmann, Herbert | 65. Klauss, Ernst K. | 91. Millinger, Heinz |
| 14. Minning, Rudolf | 40. Stuhlinger, Dr. Ernst | 66. Weidner, Dr. Hermann | 92. Dannenberg, Konrad K. |
| 15. Friedrich, Dr. Hans | 41. Guendel, Herbert | 67. Lange, Hermann | 93. Palaoro, Hans R. |
| 16. Haukohl, Guenther H. | 42. Fichtner, Hans | 68. Paetz, Robert | 94. Neubert, Erich W. |
| 17. Dhom, Friedrich | 43. Hager, Dr. Karl | 69. Merk, Helmut | 95. Sieber, Dr. Werner |
| 18. Tessmann, Bernhard | 44. Kuers, Werner R. | 70. Jacobi, Walter W. | 96. Hellebrand, Emil A.H. |
| 19. Heimburg, Karl L. | 45. Bergeler, Herbert | 71. Grau, Dieter E. | 97. Hosenthien, Hans H. |
| 20. Geissler, Dr. Ernst | 46. Maus, Hans H. | 72. Schwarz, Friedrich | 98. Bauschinger, Oscar |
| 21. Duerr, Friedrich | 47. Schwidetzky, Dr. W. | 73. Von Braun, Dr. Wernher | 99. Michel, Dr. Joseph |
| 22. | 48. Hoelker, Dr. Rudolf | 74. Wittmann, Albin E. | 100. Scheufelen, Claus |
| 23. Milde, Hans W. | 49. Kaschig, Erich K. | 75. Hoberg, Otto A. | 101. Burose, Walter |
| 24. Luehrsen, Hannes | 50. Rosinski, Werner | 76. Schulze, William A. | 102. Fleischer, Karl |
| 25. Patt, Kurt E. | 51. Scharnowski, Heinz | 77. | 103. Gengelbach, Werner |
| 26. Eisenhardt, Otto K. | 52. Vandersee, Fritz | 78. Thiel, Dr. Adolf K. | 104. Beduerftig, Hermann M. |
| | | | 105. Hintze, Guenther |

ESCOAMENTO EM TUBULAÇÕES

